

**İSTANBUL TEKNİK ÜNİVERSİTESİ ★ FEN BİLİMLERİ ENSTİTÜSÜ**

**AKIŞ PROBLEMLERİNİN SONLU HACİMLER METODU  
ILE YAPISAL OLМАYAN HESAP AĞLARINDA ÇÖZÜMÜ**

**T.C. YÜKSEKÖĞRETİM KURULU  
DOKÜMANASYON MERKEZİ**

**YÜKSEK LİSANS TEZİ  
Hüseyin Gökmen Aksoy  
(503981007)**

*101382*

**Tezin Enstitüye Verildiği Tarih : 18 Temmuz 2001  
Tezin Savunulduğu Tarih : 7 Ağustos 2001**

**Tez Danışmanı : Yrd. Doç. Dr. Levent KAVURMACIOĞLU  
Diğer Jüri Üyeleri Doç. Dr. Erkan AYDER  
Prof.Dr. Cem SORUŞBAY**

**AĞUSTOS 2001**

## ÖNSÖZ

Yardımlarından dolayı Hakan Tanrıöver'e, Dr. Aşkın Karakaş'a, Dr. Murat Sabanca'ya, Prof. Dr. Kadir Kirköprü'ye, tez danışmanım Yrd. Doç Dr. Levent Kavurmacioğlu'na ve manevi destegini hiç bırakmayan annem Fatma Aksoy'a teşekkür ederim.

Ağustos 2001

Hüseyin Gökmen AKSOY



## **IÇİNDEKİLER**

<b>KISALTMALAR</b>	v
<b>TABLO LİSTESİ</b>	vi
<b>ŞEKİL LİSTESİ</b>	vii
<b>SEMBOL LİSTESİ</b>	ix
<b>ÖZET</b>	x
<b>SUMMARY</b>	xi
<b>1 GİRİŞ</b>	1
1.1 Literatür Taraması . . . . .	1
1.2 Amaç . . . . .	5
<b>2 TAŞINIM-YAYINIM DENKLEMİNİN ÇÖZÜMÜ</b>	6
2.1 Giriş . . . . .	6
2.2 Taşınım-Yayınım Denklemi . . . . .	6
2.3 Taşınım-Yayınım Denkleminin Ayriklaştırılması . . . . .	6
2.3.1 Taşınım Terimlerinin Ayriklaştırılması . . . . .	7
2.3.2 Yayınım Terimlerinin Ayriklaştırılması . . . . .	12
2.3.3 Köşelerde Bağımlı Değişkenlerin Hesaplanması . . . . .	14
2.3.4 Kontrol Hacimlerin Merkezlerinde Gradyanların Hesaplanması . . . . .	15
2.3.5 Kaynak Terimin Ayriklaştırılması . . . . .	15
2.4 Taşınım-Yayınım Denkleminin Örnek Problem İçin Çözümü . . . . .	15
2.4.1 Test Fonksiyonu . . . . .	15
2.4.2 Çözüm Yöntemi . . . . .	16
2.4.3 Hesaplamalar . . . . .	16
2.4.4 Sonuç . . . . .	23
<b>3 AKIŞ DENKLEMLERİ VE BOYUTSUZLAŞTIRILMASI</b>	25
<b>4 AKIŞ DENKLEMLERİNİN AYRIKLAŞTIRILMASI VE SIMPLE ALGORİTMASI</b>	27
4.1 SIMPLE Algoritması . . . . .	27
4.2 Momentum Denklemlerinin Ayriklaştırılması . . . . .	29
4.3 Basınç Ağırlıklı İnterpolasyon Yöntemi . . . . .	30
4.4 Basınç Düzeltme Denklemi . . . . .	32
4.5 Sınır Koşulları . . . . .	33
4.5.1 Giriş Sınır Koşulu . . . . .	34
4.5.2 Basınç Sınır Koşulu . . . . .	34
4.5.3 Çıkış Sınır Koşulu . . . . .	34

4.5.4	Simetri Sınır Koşulu . . . . .	35
4.5.5	Duvar Sınır Koşulu . . . . .	36
<b>5</b>	<b>AĞIZ TARAFINDAN SÜRÜLEN BOŞLUKTA AKIŞ</b>	<b>37</b>
<b>6</b>	<b>ANI GENİŞLEYEN KANALDA AKIŞ</b>	<b>45</b>
<b>7</b>	<b>SONUÇ</b>	<b>61</b>
	<b>KAYNAKLAR</b>	<b>63</b>
	<b>A LİNEER DENKLEM SİSTEMİNİN ÇÖZÜMÜ</b>	<b>71</b>
	<b>ÖZGEÇMİŞ</b>	<b>73</b>

## **KISALTMALAR**

- SAM** : Sayısal Akışkanlar Mekaniği  
**SHY** : Sonlu Hacimler Yöntemi  
**SEM** : Sonlu Elemanlar Yöntemi  
**BPD** : Basınç Poisson Denklemi  
**KH** : Kontrol Hacmi



## TABLO LİSTESİ

2.1	Yapılan hesaplamalardaki mutlak hata $\varepsilon$ 'un $L_1$ normu. . . . .	22
2.2	Yapılan hesaplamalardaki mutlak hata $\varepsilon$ 'un $L_2$ normu. . . . .	23
2.3	Yapılan hesaplamalardaki bağıl hata $\epsilon$ 'un $L_\infty$ normu. . . . .	24
6.1	1. derece yukarı farklar yöntemi ile yapılan hesaplamalarda alt duvardaki birleşme noktası. . . . .	50
6.2	2. derece yukarı farklar yöntemi ile yapılan hesaplamalarda alt duvardaki birleşme noktası. . . . .	57
6.3	$Re = 600$ iken mevcut çalışmada bulunan birleşme noktası değerinin diğer çalışmalar ile karşılaştırılması. . . . .	60

## **ŞEKİL LİSTESİ**

2.1	Örnek çözüm alanı. . . . .	7
2.2	İki kontrol hacminin ara yüzeyi. . . . .	8
2.3	Taşınım terimlerinin çözümü için kullanılan hesap alanı. . . . .	11
2.4	Taşınım problemlerinin yakınsama eğrilerinin karşılaştırılması; —: 1. derece yukarı farklar, - - - : 2. derece yukarı farklar, - - - - : Sınırlayıcı uygulanmış 2. derece yukarı farklar. . . . .	12
2.5	Taşınım problemlerinin çözümlerinin karşılaştırılması; —: kesin çözüm, - - - : Sınırlayıcı uygulanmış 2. derece yukarı farklar, - - - - : 2. derece yukarı farklar, - - - - - : 1. derece yukarı farklar. . . . .	13
2.6	İki kontrol hacminin ara yüzeyindeki birim vektörler. . . . .	13
2.7	$\phi$ 'nin çözüm alanı içerisindeki değişimi. . . . .	17
2.8	Merkezi farklar yöntemi ile yapılan hesaplamalar. . . . .	18
2.9	Merkezi farklar yöntemi ile yapılan hesaplamalarda meydana gelen bağıl hata. . . . .	19
2.10	Birinci derece yukarı farklar yöntemi ile yapılan hesaplamalar. .	20
2.11	Birinci derece yukarı farklar yöntemi ile yapılan hesaplamalarda meydana gelen bağıl hata. . . . .	21
2.12	İkinci derece yukarı farklar yöntemi ile yapılan hesaplamalar. .	22
2.13	İkinci derece yukarı farklar yöntemi ile yapılan hesaplamalarda meydana gelen bağıl hata. . . . .	23
4.1	Ara yüzeyde oluşturulan sanal kontrol hacmi. . . . .	30
4.2	Simetri yüzeyine komşu olan kontrol hacmi. . . . .	35
5.1	Ağzı tarafından sürülen boşlukta akış problemi. . . . .	37
5.2	Ağzı tarafından sürülen boşlukta akış probleminin çözümünde kullanılan yapısal hesap ağları . . . . .	38
5.3	Ağzı tarafından sürülen boşlukta akış probleminin çözümünde kullanılan yapısal olmayan jhesap ağları . . . . .	39
5.4	$Re=100$ iken $x = 0.5$ doğrusu boyunca $u$ hız profilinin değişimi. .	41
5.5	$Re=100$ iken $y = 0.5$ doğrusu boyunca $v$ hız profilinin değişimi. .	42
5.6	$Re=1000$ iken $x = 0.5$ doğrusu boyunca $u$ hız profilinin değişimi. .	43
5.7	$Re=1000$ iken $y = 0.5$ doğrusu boyunca $v$ hız profilinin değişimi. .	43
5.8	$Re=100$ iken 2. derece yukarı farklar yöntemi ile yapılan hesaplamalarda ki basınç konturları;—: yapısal olmayan hesap ağı, - - - : yapısal hesap ağı. . . . .	44
6.1	Ani genişleyen kanalda akış problemi. . . . .	45
6.2	Ani genişleyen kanalda akış problemini çözmek için kullanılan hesap ağları. . . . .	46

6.3 Ani genişleyen kanalda akış probleminde $Re=200$ iken 1. derece yukarı farklar yöntemi ile yapılan hesaplamada akım çizgileri. . . . .	48
6.4 Ani genişleyen kanalda akış probleminde $Re=400$ iken 1. derece yukarı farklar yöntemi ile yapılan hesaplamada akım çizgileri. . . . .	49
6.5 Ani genişleyen kanalda akış probleminde $Re=600$ iken 1. derece yukarı farklar yöntemi ile yapılan hesaplamada akım çizgileri. . . . .	51
6.6 Ani genişleyen kanalda akış probleminde $Re=200$ iken 2. derece yukarı farklar yöntemi ile yapılan hesaplamada akım çizgileri. . . . .	52
6.7 Ani genişleyen kanalda akış probleminde $Re=400$ iken 2. derece yukarı farklar yöntemi ile yapılan hesaplamada akım çizgileri. . . . .	54
6.8 Ani genişleyen kanalda akış probleminde $Re=600$ iken 2. derece yukarı farklar yöntemi ile yapılan hesaplamada akım çizgileri. . . . .	55
6.9 Ani genişleyen kanalda akış probleminde 2. derece yukarı farklar yöntemi ile yapılan hesaplamalarda alt duvarda yüzey sürtünme katsayısının değişimi. . . . .	56
6.10 Ani genişleyen kanalda akış probleminde $Re=200$ iken sınırlayıcı uygulanmış 2. derece yukarı farklar yöntemi ile yapılan hesaplamada akım çizgileri. . . . .	58
6.11 Ani genişleyen kanalda akış probleminde $Re=400$ iken sınırlayıcı uygulanmış 2. derece yukarı farklar yöntemi ile yapılan hesaplamada akım çizgileri. . . . .	59
6.12 Ani genişleyen kanalda akış probleminde $Re=400$ iken 2. derece yukarı farklar yöntemi ile sınırlayıcı uygulanmış 2. derece yukarı farklar yöntemi sonucu elde edilen süreklilik denkleminin kalası; - - -: 2. derece yukarı farklar yöntemi, ---; Sınırlayıcı uygulanmış 2. derece yukarı farklar yöntemi. . . . .	60
A.1 BI-CGSTAB algoritması([29]). . . . .	71
A.2 ILU ön şartlandırıcı algoritması([32]). . . . .	72

## SEMBOL LİSTESİ

$p$	: Basınç
$u$	: Kartezyen Kordinat sisteminde x Doğrultusundaki Hız
$v$	: Kartezyen Kordinat sisteminde y Doğrultusundaki Hız
$\phi$	: Skaler bağımlı değişken
$\mathbf{u}$	: Hız Vektörü
$\mathbf{r}$	: Konum Vektörü
$\mathbf{n}$	: Kontrol Hacminin Yüzeye Normal Dış Birim Vektörü
$\mathbf{t}$	: Kontrol Hacminin Yüzeye Teğet Birim Vektörü
$\phi$	: Skaler Bağımsız Değişken
$\psi$	: Akım Fonksiyonu
$\Omega$	: Kontrol Hacminin Hacmi(İki boyutta alanı)
$S$	: Kontrol Hacminin Yüzey Alanı(İki boyutta uzunluğu)
$\lambda$	: İnterpolasyon Katsayısı
$\rho$	: Açışkanın Yoğunluğu
$\mu$	: Açışkanın Viskozitesi
$\Gamma$	: Yayının Katsayısı
$\psi_m$	: Eğim Sınırlayıcı
$L$	: Karakteristik Uzunluk
$u_\infty$	: Karakteristik Hız
$p_\infty$	: Referans Basınç
$\tau_w$	: Duvardaki Sürtünme Gerilmesi
$C_f$	: Yüzey Sürtünme katsayısı ( $\tau_w/0,5\rho u_\infty^2$ )
$Re$	: Reynolds Sayısı: $\rho u_\infty L/\mu$
$S_\phi$	: Bağımlı Değişkeni $\phi$ Olan Kısmi Diferansiyel Denklemin Kaynak Terimi
$Flux$	: İki Kontrol Hacminin Ara Yüzeyindeki Kütle Debisi

## ÖZET

Bu çalışmada sıkıştırılamaz daimi akış problemlerinin temel değişkenler kullanılarak yapısal olmayan hesap ağlarında, sonlu hacimler yöntemi kullanılarak çözümü incelenmiştir. Basıncın ve hızların hesaplanması için SIMPLE algoritması kullanılmıştır. Çalışmada öncelikli olarak akış problemlerini tanımlayan denklemere temel oluşturan Taşnim-Yayınım denklemi çözülmüştür. Yapılan hesaplamalar sonucu hesap ağındaki kontrol hacmi sayısı arttıkça yapısal ve yapısal olmayan hesap ağlarında elde edilen sonuçların birbirlerine yaklaşığı tespit edilmiştir. Ağız tarafından sürülen akış ve ani genişleyen kanalda akış problemleri çözülmüştür. Yapılan hesaplamalar sonucu yapısal olmayan hesap ağları ile yapılan çözümlemelerin hesap ağındaki kontrol hacmi sayısı arttıkça yapısal hesap ağlarında elde edilen sonuçlara yaklaşığı görülmüştür. Ayrıca ikinci düzeltme adımının çözümün yakınsamasını özellikle yüksek Reynolds sayılarında iyileştirdiği tespit edilmiştir. SIMPLE algoritmasının mühendislik uygulamaları için yeterli olduğu ancak yüksek teknoloji uygulamaları için daha gelişmiş bir yöntem kullanılması gerektiği sonucuna varılmıştır.

## **SUMMARY**

In this study solution of incompressible, steady state fluid flow problems by using primitive variables and finite volume method on unstructured grids is investigated. SIMPLE algorithm is used for the computation of pressure and velocities. Convection-Diffusion problem is solved as a beginning in order to determine the differences between unstructured and structured grids. It is seen that the results of the computations are getting closer for the structured and unstructured grids as the number of the control volumes increases. Lid-Driven Cavity and Backward Facing Step problems are solved for the test of the discretization on fluid flow problems. It is seen that results of the computations that are done with the unstructured grids are getting closer to the results of computations with structured grids. On the other hand, correction step enhances the convergency at high Reynolds numbers. It is determined that SIMPLE algorithm can be used for engineering computations but the accuracy for the scientific computations is not sufficient.

## **BÖLÜM 1**

### **GİRİŞ**

Sayısal akışkanlar mekaniği 1960’lı yılların ortalarından itibaren bilgisayar teknolojilerinin gelişmesi ile birlikte araştırmacıların ilgi odağı olmuştur. Özellikle 1970’li yıllarda süper bilgisayarların gelişmesi, deneysel çalışmaların maliyetlerinin yüksek olması Sayısal Akışkanlar Mekanığıne (SAM) olan ilgiyi arttırmıştır. 1980’den sonra ise bilgisayar teknolojisindeki hızlı gelişmeye paralel olarak Sayısal Akışkanlar Mekanığında kullanılan teknikler büyük bir gelişme göstermiştir. Geliştirilen ticari Sayısal Akışkanlar Mekanığı Yazılımları yeni ürün tasarımu sırasında ürün tasarım süresini en aza indirmek ve üründen optimum verimi elde etmek amacıyla sadece havacılık sanayiine değil, cam sanayiinden, gıda sektörüne kadar endüstrinin değişik kollarının kullanımına sunulmuştur. Kullanılan yöntemler çok gelişmiş olmalarına rağmen endüstrinin ihtiyaçlarını tam olarak karşılayabilecek düzeyde değildir. Bu nedenle Sayısal Akışkanlar Mekanığı üzerine yapılan çalışmalar devam etmektedir. Özellikle değişik durumlarada çalışabilen, kullanıcı dostu yöntemler giderek önem kazanmaktadır.

#### **1.1 Literatür Taraması**

Sayısal akışkanlar mekanığında akışı tanımlayan denklemler iki farklı şekilde ifade edilmektedir. Bunlardan birincisi temel değişkenlerden ( $h_z, \text{basınç}$ ) oluşan denklem sistemi, ikincisi ise akım fonksiyonu-girdap değişkenleri ile tanımlanan denklem sistemidir [1]. Akım fonksiyonu-girdap yaklaşımı akış problemlerinin çözümünde uzun yıllar kullanılmıştır. Bu yaklaşım özellikle sıkıştırılamaz laminer akış problemlerinde iyi sonuçlar vermektedir. Ancak bu yaklaşımın üç boyutlu, türbülanslı, çok fazlı akışlar gibi akış problemlerine uygulanmasının zor olması araştırmacıları temel değişkenler ile tanımlanan akış denklemlerini kullanmaya itmiştir.

Özellikle sıkıştırılamaz akışlarda basınç ile hızlar arasında bağı sağlayan belirgin bir denklem olmaması sıkıştırılamaz akış problemlerinin çözümünde önemli bir zorluk olarak karşımıza çıkmaktadır. Sıkıştırılamaz akışlarda temel denklemlerin ayırtılaraç çözülmesinde değişik metodlar kullanılmaktadır. En temel yöntem bütün denklemlerin aynı anda birleşik olarak çözülmüşidir. Bu yöntemde Navier-Stokes denklemleri ve süreklilik denklemi ayrılaştırılır. Basınç, hızlar ve diğer değişkenler sanki bir değişkenmiş gibi ele alınarak katsayılar matrisi oluşturulur ve oluşturulan lineer denklem sistemi çözülür[2]. Ancak bu yöntem çok büyük ayrı matrisin çözümünü gerektirmektedir. Bu ise uzun hesaplama zamanı gerektirmektedir. Birleşik çözümün dışında kalan diğer yöntemler ayrı çözüm olarak adlandırılır. Bu tür yöntemlerde akışı tanımlayan denklemler ayrı ayrı çözülür. Basıncı hesaplamak için ise süreklilik denklemi kullanılır ve ayrı yöntemler bu noktada biribirinden ayrılır. Bu metodlardan biri Basınç Poisson Denkleminin çözümüdür[3]. Momentum denkleminin diverjansı alınır ve sürekliliği sağlayacak şekilde sadeleştirilir. Bunun sonucu olarak ana değişkeni basınç olan Poisson denklemi elde edilir. Basınç elde edilen Poisson denklemi çözüllererek hesaplanır. Diğer bir yöntem ise izdüşüm yöntemidir[2]. Bu yöntemde ise Navier-Stokes denklemleri 1 boyutlu halde yazılır ve bir boyutta sürekliliği sağlayacak şekilde sadeleştirilir. Elde edilen denklem iki veya üç boyutlu süreklilik denklemine konularak basınç denklemi elde edilir. Bu denklemin ayrılaştırılarak çözümü sonucu basınç hesaplanır. Bu yöntem özellikle son yıllarda türbülanslı ve zamanla değişen akışların çözümünde sıkça kullanılmaktadır[7, 5, 4, 6]. Sıkıştırılamaz akış problemlerinde kullanılan diğer bir yöntem ise yapay sıkıştırılabilirlik yöntemidir[8]. Bu yöntemde süreklilik denklemine yoğunluğun zamana göre türevi eklenir ve basınçın, yoğunlukla doğru orantılı olarak değiştiği kabul edilir. Süreklik denklemi kullanılarak yoğunluk hesaplanır. Hesaplanan yoğunluk değeri yapay sıkıştırılabilirlik katsayısi ile çarpılarak basınç hesaplanır. Çözüm kararlı hale yakınsayınca süreklilik denklemindeki zamana göre türevi sıfır olur. Ancak bu metod sadece zamana bağlı olmayan akış problemlerine uygulanabilir. Basıncın hesaplanması için kullanılan yöntemlerden bir tanesi

---

ise SIMPLE (Semi-Implicit Method for Pressure-Linked Equations) ve SIMPLE tipi yöntemlerdir[9]. Bu yöntemlerde basınç ile hızlar arasındaki bağı sağlamak amacı için süreklilik denklemi kullanılır. Ancak SIMPLE'da Basınç Poisson Denklemi ve iz düşüm metodundan farklı olarak süreklilik denkleminden basınç değil basınç düzeltme değerleri hesaplanır. SIMPLE algoritması daha sonra geliştirilerek SIMPLER, SIMPLEC ve PISO gibi türevleri geliştirilmiştir[9, 10, 11]. SIMPLE algoritması kolay uygulanması ve hem sıkıştırılabilir [12] hemde sıkıştırılamaz akışlara uygulanabilir olması nedeni ile bir çok araştırmacı ve ticari analiz programı tarafından kullanılmıştır.

Akış problemlerinin çözümünde yapısal ve yapısal olmayan olmak üzere iki tip hesap ağı kullanılmaktadır. Yapısal hesap ağları yapısal olmayan hesap ağlarına göre daha az hafıza kullanmaktadır[13]. Ancak karmaşık geometrilere uygulanmasının zor olması ve gelişen bilgisayar teknolojisi yapısal hesap ağlarının yerini yapısal olmayan hesap ağlarının alınmasına sebep olmuştur. Hem yapısal, hemde yapısal olmayan hesap ağlarında bağımlı değişkenlerin saklanacağı noktaların yeri önemlidir. Sayısal akışkanlar mekaniği problemlerinin çözümünde kullanılan üç tip bilgi saklama şekli vardır. Bunlar hücre merkezli, köşe merkezli ve hücre-köşe olarak adlandırılır. Basınç denklemi ile momentum denklemelerinin aynı kontrol hacminde hücre merkezli sistem kullanılarak merkezi farklar yöntemi ile ayırtlaştırılması basınç ile hızların farklı komşu kontrol hacimleri kullanılarak hesaplanması yol açmaktadır[13]. Dama tahtası problemi olarak adlandırılan bu problem çözümde dalgalanmalara yol açabilmekte, bu dalgalanmalar ise programın yakınsamasını engelleyebilmektedir[13]. Bu problemin çözümü için Rhie ve Chow[14] basınç ağırlıklı interpolasyon yöntemini geliştirmiştir. Bu yöntemde iki kontol hacminin ara yüzeyinde sanal bir kontol hacmi kullanılarak ara yüzeye yüzeye normal yöndeki hız hesaplanır. Bu hız ise momentum denklemelerinin lineerleştirilmesinde ve basınç denkleminin çözümünde kullanılır. Bu yöntem özellikle SIMPLE ve benzeri algoritmalar kullanan araştırmacılar tarafından çözüm alanı içerisindeki basınç dalgalanmalarını engellemek amacı ile kullanılmıştır.

Dama tahtası problemi hızların ve basınçın farklı kontrol hacimler kullanılarak hesaplanması durumunda görülmemektedir[13, 4]. Ancak bu sistemin yapısal olmayan çözüm ağlarına uygulanması hem zor hemde daha fazla hafiza gerekmektedir. Ancak basınç ağırlıklı interpolasyonu gerektirmemesi nedeni ile bazı araştırmacılar tarafından yapısal olmayan çözüm ağlarında da kullanılmıştır[40].

Sayısal akışkanlar mekaniği problemlerinin çözümünde diğer bir önemli konu ise taşınım terimlerinin interpolasyonunda kullanılacak olan yöntemdir. Özellikle taşınım terimlerinin etkin olduğu akışlarda kullanılacak olan interpolasyon yöntemi daha da önem kazanmaktadır. Uzun yıllar Taylor serileri kullanılarak birinci derece yukarı farklar yöntemi ve ikinci derece merkezi farklar yöntemi kullanılmıştır. Birinci derece yukarı farklar yöntemi kararlı olması nedeni ile taşınım terimlerinin ayrıklığıdır. Ancak kısaltılmış ikinci derece terimler nedeni ile sayısal yayının oluşmakta ve elde edilen çözümdeki hata artmaktadır[15]. Diğer taraftan ikinci derece yukarı farklar yönteminde ise ani değişim gösteren akış bölgelerinde sayısal dağılma hatası görülmekte, yani ani değişim gösteren bölgeler çevresinde çözümde dalgalanmalar oluşmaktadır [16, 15], bu ise bazen programın yakınsamamasına yol açmaktadır. Diğer taraftan sıkça kullanılan 2. derece yukarı farklar yöntemi ise ikinci derece hassasite sahiptir. ikinci derece yukarı farklar yönteminde ani değişim gösteren bölgelerde dalgalanmalara sebep olmakta ancak bu dalgalanmalar programın iraksamasına sebep olacak kadar yüksek genlige sahip olmamaktadır. Ayrıca Gaskell ve Lau [17]'da belirtildiği gibi birinci derece yukarı farklar ve ikinci derece yukarı farklar metodu kararlıdır, merkezi farklar yöntemi ise nötnürdür. Diğer taraftan sıkça kullanılan QUICK ise kararlı olması ve daha az dalgalanmaya sebep olması nedeni ile bir çok araştırmacı tarafından benimsenmektedir[18, 17]. Ancak yapısal olmayan hesap ağlarında uygulama yapılmamıştır. İkinci derece yukarı farklar yönteminde oluşan dalgalanmaları engellemek amacı ile araştırmacılar yapay yayının[19] veya değişik sınırlayıcılar kullanılmaktadır[23, 20, 25]. Özellikle yapısal olmayan hesap ağlarında kullanılan ve Venkatakrishnan

[21] tarafından sıkıştırılabilir akışlar için geliştirilen sınırlayıcı, akışın özelliklerinin ani değişim göstermediği bölgelerde etkisiz olması, ancak özellikle hesaplamanın ilk döngülerinde meydana gelen dalgalanmalardan dolayı programının iraksamasını önlemesi amacı ile kullanılmıştır[23]. Jasak ve arkadaşları [20] tarafından yapısal olmayan çözüm ağları için geliştirilen sınırlayıcı ise probleme bağlı olarak parametreye bağlı olması nedeni ile fazla uygulama alanı bulmamıştır. Ayrıca bazı araştırmacılar sınırlayıcıları dama tahtası problemini önlemek amacıyla kullanmışlardır[25].

## 1.2 Amaç

Bu çalışmanın amacı sıkıştırılamaz akış problemlerini sonlu hacimler yöntemi kullanarak yapısal olmayan hesap ağlarında çözmektir. Bu amaçla ağız tarafından sürülen boşlukta akış ve ani genişleyen kanalda akış problemi test problemleri olarak seçilmiştir. Problemler SIMPLE algoritması kullanılarak çözülmüş, taşınım terimlerinin ayrılaştırılması için birinci derece yukarı farklar, ikinci derece yukarı farklar ve merkezi farklar yöntemleri kullanılmıştır.

Öncelikli olarak Navier-Stokes ve birçok akış denklemine temel olan taşınım-yayınım denkleminin ayrılaştırılması Bölüm 2'de anlatılmış ve Shih[26] tarafından geliştirilen yöntem ile ayrılaştırmanın doğruluğu ve yapısal ile yapısal olmayan hesap ağları arasındaki farklar ortaya konulmuştur. 3. Bölümde eş sıcaklık, sabit ağıdalıklı sıkıştırılamaz bir akışı tanımlayan denklemler ve bunların boyutsuzlaştırılması anlatılmıştır. 4. Bölümde SIMPLE algoritması ve sınır koşullarının uygulanması anlatılmıştır. 5. Bölümde ise ağız tarafından sürülen boşlukta akış probleminin çözümü sonucu elde edilen sonuçlar irdelenmiştir. 6. Bölümde ise ani genişleyen kanalda akış probleminin çözümü sonucu elde edilen sonuçlar incelenmiştir. 7. ve son bölümde ise elde edilen sonuçların değerlendirilmesi yapılmıştır.

## BÖLÜM 2

### TAŞINIM-YAYINIM DENKLEMİNİN ÇÖZÜMÜ

#### 2.1 Giriş

Bilindiği üzere taşınım-yayınım problemi, akışkanlar mekaniğinde kullanılan diferansiyel denklemlerin hemen hepsi ile benzer olması sebiyle Sayısal Akışkanlar Mekanığı(SAM) üzerine araştırmalar yapan araştırmacıların ilgi odağı olmuştur. Akış denklemlerinin çözümüne ön hazırlık olması amacı ile bu bölümde zamana bağlı olmayan taşınım-yayınım probleminin Sonlu Hacimler Yöntemi(SHY) ile çözümü anlatılacaktır.

#### 2.2 Taşınım-Yayınım Denklemi

Genel taşınım-yayınım denklemi en çok kullanılan hali ile;

$$u \frac{\partial \phi}{\partial x} + v \frac{\partial \phi}{\partial y} = \Gamma \left( \frac{\partial^2 \phi}{\partial x^2} + \frac{\partial^2 \phi}{\partial y^2} \right) + S_\phi \quad (2.1)$$

şeklinde yazılır.

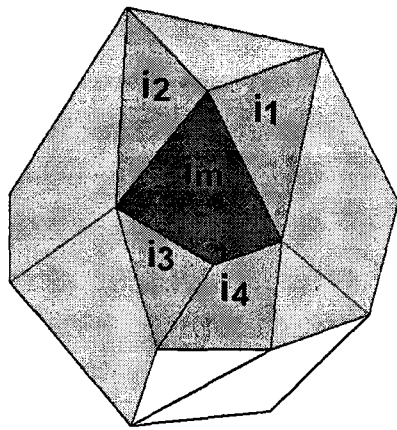
Bundan sonra yapılacak işlemleri kolaylaştırmak amacı ile taşınım-yayınım denklemini integral formda ise;

$$\oint_S (\mathbf{u} \cdot \mathbf{n}) \phi dS = \oint_S \Gamma \nabla \phi \cdot \mathbf{n} dS + \int_{\Omega} S_\phi d\Omega \quad (2.2)$$

şeklinde yazabiliriz.

#### 2.3 Taşınım-Yayınım Denkleminin Ayrıklaştırılması

Taşınım-yayınım probleminin ayrıklaştırılması sırasında 2.2 no'lu denklemin her bir terimini ayrı ayrı inceleyeceğiz.



Şekil 2.1: Örnek çözüm alanı.

### 2.3.1 Taşınım Terimlerinin Ayrıklaştırılması

Öncelikli olarak taşınım terimlerini ele alalım. Bunun için Şekil 2.1'de koyu renkle gösterilem  $i_m$  indisli kontrol hacmini ele alalım. 2.2 nolu denklemden bilindiği üzere taşınım terimlerini

$$C = \oint_S (\mathbf{u} \cdot \mathbf{n}) \phi dS \quad (2.3)$$

şeklinde yazabiliriz. 2.3 no'lu denklem sayısal olarak

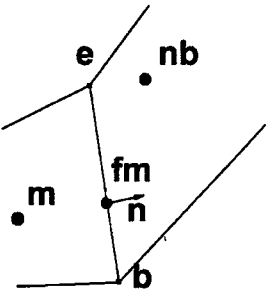
$$C_{i_m} = \sum_i (\mathbf{u}_i \cdot \mathbf{n}_i) \phi_i \Delta S_i \quad (2.4)$$

şeklinde hesaplanabilir. Eğer herbir yüzeyi tek tek ele alırsak,

$$C_i = (\mathbf{u}_i \cdot \mathbf{n}_i) \phi_i \Delta S_i, \quad (2.5)$$

esitliğini elde ederiz. Burada hız vektörü  $\mathbf{u}_i$  ve normal vektör  $\mathbf{n}_i$  bilinmektedir. Yüzeyde  $\phi$ 'nin değerini hesaplamak için en çok kullanılan iki yöntem yukarı farklar yöntemi ve merkezi farklar yöntemidir. Bu yöntemleri açıklamak amacıyla ile dik hesap ağında problemi inceleyelim.

Öncelikli olarak merkezi farklar yöntemini inceleyelim. İki kontrol hacminin ara yüzeyinde  $\phi$  değeri  $\phi_f$  aşağıdaki şekilde hesaplanabilir.



Şekil 2.2: İki kontrol hacminin ara yüzeyi.

$$\phi_f = \frac{\phi_{i_m} + \phi_{i_{nb}}}{2} \quad (2.6)$$

Merkezi farklar yöntemi ikinci derece hassasiyete sahiptir. Bu yöntemi düzgün hesap ağları için genelleştirmek amacıyla 2.7 no'lu denklemdeki gibi yazabiliriz.

$$\phi_f = (1 - \lambda)\phi_{i_m} + \lambda\phi_{i_{nb}} \quad (2.7)$$

2.7 no'lu denklemde  $\lambda$  interpolasyon katsayısıdır ve

$$\lambda = \frac{(\mathbf{r}_{fm} - \mathbf{r}_m) \cdot \mathbf{n}}{(\mathbf{r}_{nb} - \mathbf{r}_m) \cdot \mathbf{n}} \quad (2.8)$$

denklemi ile hesaplanır. 2.8 no'lu denklemde  $\mathbf{n}$  normal dış vektör,  $\mathbf{r}_{fm}$ ,  $\mathbf{r}_m$  ve  $\mathbf{r}_{nb}$  ise sıra ile kontrol hacmi yüzeyinin orta noktasının ve yüzeyin solunda ve sağında kalan kontrol hacimlerin merkezlerinin konum vektörleridir.

Şekil 2.2'den de görülebileceği gibi yapısal olmayan çözüm ağlarında iki komşu kontrol hacmi arasındaki doğru kontol hacmi yüzeyinin orta noktasından geçmeyebilir. Bu durum yapılan interpolasyonun yapısal olmayan hesap ağlarında birinci derece hassasiyete sahip olmasına neden olur. Bu durumu düzeltmek için  $\phi$ 'nin  $f_i$  noktasındaki değerinin  $fm$  noktasına ötelenmesi gereklidir. Bu ötelememeyi yapabilmek için  $b$  ve  $e$  köşe noktalarında  $\phi$ 'nin değerini bildiğimizi varsayıyalım. Öncelikle  $fm$  noktası etrafında  $f_i$  noktası için Taylor serisini yazalım.

$$\phi_{fi} = \phi_{fm} + \frac{\partial \phi}{\partial \eta}|_{fi} (\mathbf{r}_f - \mathbf{r}_{fm}) \cdot \mathbf{t} \quad (2.9)$$

2.9 no'lu denklemde eşitliğin sağındaki ikinci terimi eşitliğin soluna alırsak kontrol hacminin orta noktasında  $\phi$ 'nin değerini hesaplamış oluruz.

$$\phi_{fm} = \phi_{fi} - \frac{\phi_e - \phi_b}{\Delta S}|_{fm} (\mathbf{r}_f - \mathbf{r}_{fm}) \cdot \mathbf{t} \quad (2.10)$$

Köşelerde bağımlı değişkenleri hesaplamak amacı ile literatürde değişik yöntemler kullanılmıştır. [12] no'lu referansda köşeye bağlı kontrol hacimlerindeki bağımlı değişkenlerin aritmetik ortalamasını almıştır. [7] no'lu referansda ise alan ağırlıklı ortalama yöntemi kullanılmıştır. Her iki yöntemde yapısal veya belirli bir düzene sahip hesap ağlarında ikinci derece hassasiyete sahiptir. Ancak karmaşık yapısal olmayan hesap ağlarında birinci derece hassasiyete sahiptirler. Yukarıda anlatılan metod bütün hesap ağlarında ikinci derece hassasiyete sahiptir ve kolayca uygulanabilir.

Yukarı farklar yönteminde ise ara yüzeydeki akışın yönüne bakılır.

$$\begin{aligned} \phi_{fm} &= \phi_m && \text{Eğer } \mathbf{u} \cdot \mathbf{n} > 0 \\ \phi_{fm} &= \phi_{nb} && \text{Eğer } \mathbf{u} \cdot \mathbf{n} < 0 \end{aligned} \quad (2.11)$$

2.11 no'lu denklemden de anlaşılacağı gibi yukarı farklar yöntemi bütün hesap ağlarında birinci derece hassasiyete sahiptir. İkinci derece hassasiyete sahip yukarı farklar yönteminde kontrol hacimlerinin merkezlerinde bağımlı değişkenin gradyanı kullanılır.

$$\begin{aligned} \phi_{fm} &= \phi_m + \nabla \phi|_m \cdot (\mathbf{r}_{fm} - \mathbf{r}_m) && \text{Eğer } \mathbf{u} \cdot \mathbf{n} > 0 \\ \phi_{fm} &= \phi_{nb} + \nabla \phi|_{nb} \cdot (\mathbf{r}_{fm} - \mathbf{r}_{nb}) && \text{Eğer } \mathbf{u} \cdot \mathbf{n} < 0 \end{aligned} \quad (2.12)$$

### Sınırlayıcı Kullanılması

Sınırlayıcılar özellikler sıkıştırılabilir akış problemlerini çözen araştırmacılar tarafından akış alanı içerisinde anı değişim gösteren bölgeler etrafında oluşan dalgalanmaları en aza indirmek ve kullanılan algoritmanın daha hızlı yakınsamasını sağlamak amacıyla kullanılmaktadır. Son yıllarda ise sıkıştırılamaz akış problemleri ile uğraşan araştırmacılar tarafından özellikle ilk döngülerde meydana gelen dalgaları sökümlmek amacı

ile kullanılmaktadır. Uygulanmasının daha kolay olması nedeni ile eğim sınırlayıcıları daha çok kullanılmaktadır[25, 35]. Sınırlayıcıların karşılaştırmaları [15, 20, 25, 21] no’lu kaynaklarda yapılmıştır. Bu bölümde ise Venkatakrishnan [21] tarafından yapısal olmayan hesap ağları için geliştirilmiş olan sınırlayıcının uygulanması ve akış problemlerinde görülen değişik profillerde verdiği sonuçların karşılaştırılması yapılacaktır.

Eğim sınırlayıcıları özellikle ikinci ve daha yüksek derecelerde ayrılaştırılmış yukarı farklar yöntemi ile taşınım terimlerinin ayrılaştırılması sonucu ortaya çıkan dalgalanmaları yok etmek amacı ile 2.12 denklemindeki gradyan teriminin bir katsayı ile çarpılmasını sağlayarak gradyanın etkin olup olmamasını sağlar. Bundan sonraki kısımlarda ikinci derece yukarı farklar yönteminde  $\mathbf{u} \cdot \mathbf{n} > 0$  olduğunu kabul edeceğiz. Bu durumda sınırlayıcı uygulanmış 2 derece yukarı farklar yöntemi 2.13 denklemindeki gibi olur.

$$\phi_{fm} = \phi_m + \psi_m \cdot \nabla \phi|_m \cdot (\mathbf{r}_{fm} - \mathbf{r}_m) \quad \text{Eğer } \mathbf{u} \cdot \mathbf{n} > 0 \quad (2.13)$$

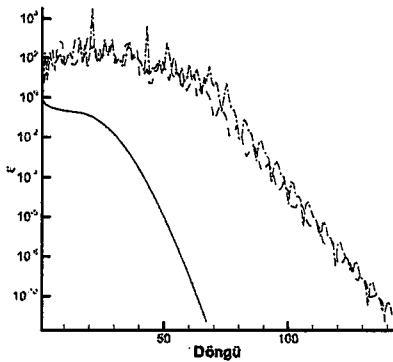
$$\psi_m = \min(\psi_{mj}) \quad j = 1, nb \quad (2.14)$$

$\psi_m$  eğim sınırlayıcı ise 2.14 denkleminde olduğu gibi tanımlıdır.  $\psi$  sınırlayıcı fonksiyonu Venkatarishnan [21] tarafından 2.15 denkleminde olduğu gibi tanımlanır.

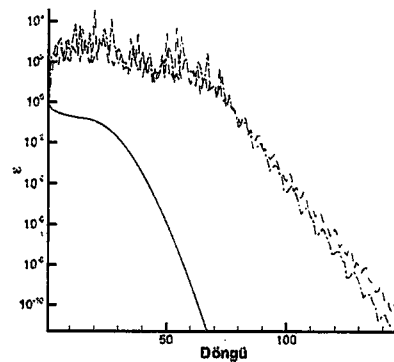
$$\psi\left(\frac{\Delta_1}{\Delta_2}\right) = \frac{1}{\Delta_2} \left[ \frac{\Delta_1^2 \Delta_2 + 2\Delta_2^2 \Delta_1}{\Delta_1^2 + 2\Delta_2^2 + \Delta_2 \Delta_1} \right] \quad (2.15)$$

$$\begin{aligned} \Delta_2 &= \phi_{fm} - \phi_m \\ \Delta_1 &= \phi_m^{max} - \phi_m \quad \text{Eğer } \phi_{fm} > 0 \\ \Delta_1 &= \phi_m^{min} - \phi_m \quad \text{Eğer } \phi_{fm} < 0 \end{aligned} \quad (2.16)$$

2.16 denkleminde  $\phi_{fm}$  2.13 denkleminde  $\psi_m = 1$  alınarak hesaplanır.  $\phi_m^{max}$  o kontrol hacmindeki  $\phi$  değerini hesaplamak için kullanılan kontrol hacimlerinin maksimumudur.  $\phi_m^{min}$ ’de  $\phi_m^{max}$  benzer şekilde hesaplanır.



(a) Basamak Fonksiyon



(b) Yarı Elips

Şekil 2.4: Taşınınum problemlerinin yakınsama eğrilerinin karşılaştırılması; —: 1. derece yukarı farklar, - - -: 2. derece yukarı farklar, - · - · : Sınırlayıcı uygulanmış 2. derece yukarı farklar.

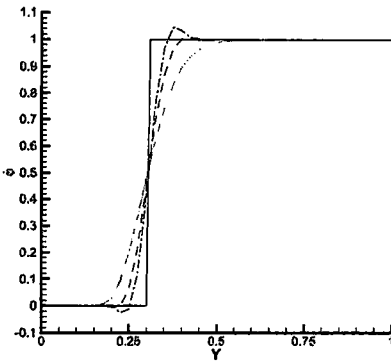
yapılan testde hemde yarı elips kullanılarak yapılan testte asıl fonksiyona en yakın sonucu vermiştir. Diğer taraftan her iki fonksiyonda da ani değişim bölgесine yakın yerde dalgalanma meydana geldiği görülmektedir. Sınırlayıcı kullanıldığı zanneden bu dalgalanmanın yok olduğu, ancak hatanın arttığı görülmektedir. Birinci derece yukarı farklar yöntemi kullanıldığı zaman ise dalgalanma görülmemekte, fakat kesilmiş olan terimlerden kaynaklanan yayımım hatayı artttırmaktadır.

### 2.3.2 Yayımım Terimlerinin Ayrıklaştırılması

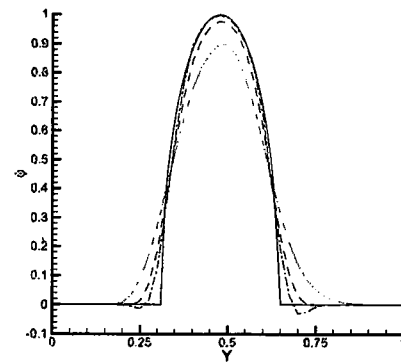
Yayımım terimlerinin ayrıklaştırılması, taşınınım terimlerinin ayrıklaştırılmasına benzer bir şekilde, Şekil 2.1'de koyu renkle gösterilen  $i_m$  indisli kontrol hacmini ele alarak yapalım. 2.2 nolu denklemden bilindiği üzere yayımım terimleri 2.19 no'lu denklemdeki şeklär ile yazılabilir.

$$D_{i_m} = \int_S \Gamma \nabla \phi \cdot \mathbf{n} dS \quad (2.19)$$

2.19 no'lu denklemden görülebileceği üzere bir kontrol hacminde yayımım terimlerinin integrali yüzeylerdeki yayımım akılarının toplamı şeklinde yazılabilir. Bu nedenle yayımım terimlerinin ayrıklaştırılmasını tek bir yüzey



(a) Basamak Fonksiyon

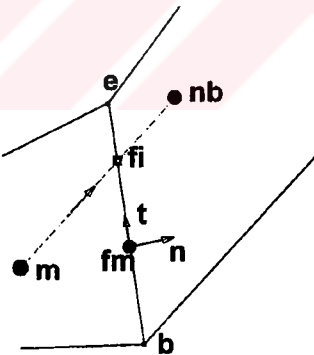


(b) Yarı Elips

Şekil 2.5: Taşınım problemlerinin çözümlerinin karşılaştırılması; —: kesin çözüm. - - -: Sınırlayıcı uygulanmış 2. derece yukarı farklar. - - - -: 2. derece yukarı farklar, · · · · : 1. derece yukarı farklar.

için incelememiz yeterli olacaktır.

$$D_{im} = \sum_i \Gamma \nabla \phi_i \cdot \mathbf{n}_i \Delta S_i \quad (2.20)$$



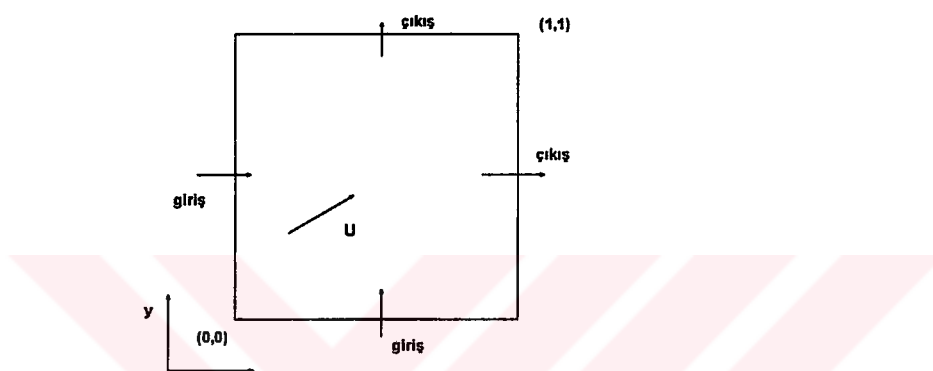
Şekil 2.6: İki kontrol hacminin ara yüzeyindeki birim vektörler.

İki kontrol hacminin ara yüzeyinde  $\phi$ 'nin gradyanının normaşlı doğrultu üzerine iz düşümü Mathur ve Murty [35] 'de belirtildiği gibi en genel halde 2.21 denklemindeki gibi yazılabilir.

## Örnek Profillerin Sınırlayıcı Kullanılarak Çözümü

Test problemlerini çözmek amacıyla Şekil 2.3 'de görülen çözüm alanı  $50 \times 50$  düzgün kontrol hacmine ayrılmıştır.

Sınırlayıcı kullanılarak elde edilen sonuçların birinci ve ikinci derece yukarı farklar yöntemleri ile karşılaştırılmak amacıyla 2 farklı fonksiyon kullanılmıştır.



Şekil 2.3: Taşınım terimlerinin çözümü için kullanılan hesap alanı.

Kullanılan fonksiyonlar 2.17 no'lu denklemde belirtilen basamak fonksiyon ve 2.18 no'lu denklemde gösterilen yarı elipsdir. Ayrıca akış alanı sabit ve  $x$  ekseni ile 30 derece açı yapacak şekilde seçilmiştir.

$$\phi_b = 1.0 \quad \text{Eğer } y \geq 1/6 \quad \text{ve} \quad x = 0 \quad (2.17)$$

$$\phi_b = \sqrt{1 - (\frac{y - \frac{1}{6}}{\frac{1}{6}})^2} \quad \text{Eğer } 1/6 \leq y \leq 1/2 \quad \text{ve} \quad x = 0 \quad (2.18)$$

Şekil 2.4 'de görüldüğü gibi birinci derece yukarı farklar yöntemi düzgün bir şekilde yakınsamaktadır. Diğer taraftan gerek sınırlayıcı uygulanmış ikinci derece yukarı farklar yöntemi gerekse ikinci derece yukarı farklar yöntemi hemen aynı yakınsama eğrisini izlemiştir. Şekil 2.5'de de görüldüğü gibi ikinci derece yukarı farklar yöntemi hem basamak fonksiyon kullanılarak

$$\nabla \phi_f m \cdot \mathbf{n} = \frac{\phi_{nb} - \phi_m}{dr} + \frac{\phi_e - \phi_b}{dr \Delta S} (-(y_{nb} - y_m)n_x + (x_{nb} - x_m)n_y) \quad (2.21)$$

2.21 no'lu denklemde görüldüğü üzere yayının terimlerinin ayrılaştırılması sırasında kontrol hacminin köşelerindede  $\phi$ 'nin hesaplanması gerekmektedir. Hesap ağının dik olması durumunda 2.21 no'lu denklemde ikinci terimi sıfır olmaktadır. Bu ikinci terim genellikle açık olarak ayrılaştırılarak kaynak terime eklenmektedir. 2.21 no'lu denklemde  $dr$  iki kontrol hacminin birbirlerine ara yüzeye dik uzaklıklarıdır.

### 2.3.3 Köşelerde Bağımlı Değişkenlerin Hesaplanması

Biraz önce belirtildiği gibi yapısal olmayan hesap ağlarında hem taşınım, hemde yayının terimlerinin ayrılaştırılması için kontrol hacimlerinin köşelerinde  $\phi$  değerine gereksinim duyulmaktadır. Burada görüleceği üzere köşelerde  $\phi$ 'nin değerini hesaplamak için kullanabilecek yol, o köşeye bağlı kontrol hacimlerinin orta noktaları etrafında yazılmış olan Taylor serilerini kullanmaktadır.

Şimdi seçilen köşeye bağlı kontrol hacimlerinden herhangi bir tanesinin orta noktası etrafında seçilen köşe için Taylor serisini yazalım.

$$\phi_a = \phi_i + \frac{\partial \phi}{\partial x}|_i(x_a - x_i) + \frac{\partial \phi}{\partial y}|_i(y_a - y_i) + O(\Delta x^2, \Delta y^2) \quad (2.22)$$

Benzer şekilde seçilen köşe için, o köşeye bağlı diğer kontrol hacimlerinin etrafında da benzer şekilde Taylor serisi yapıp, bunların aritmetik ortalamasını alırsak  $\phi$ 'nin değerini ikinci derece hassasiyet ile hesaplamış oluruz.

$$\phi_a^k = \frac{1}{s_k} \sum_i (\phi_i^k + \frac{\partial \phi}{\partial x}|_i^k (x_a - x_i) + \frac{\partial \phi}{\partial y}|_i^k (y_a - y_i)) \quad (2.23)$$

2.23 no'lu denklemde  $s$  o köşeye bağlı olan kontrol hacimlerinin sayısını,  $k$  hangi iterasyon olduğunu göstermektedir.

### **2.3.4 Kontrol Hacimlerin Merkezlerinde Gradyanların Hesaplanması**

Kontrol hacimlerinin merkezlerinde gradyanları hesaplamak için Green-Gauss teoremi kullanılır ve 2.24 no'lu denklemdeki gibi hesaplanır.

$$\nabla\phi|_m = \frac{\sum_i \phi_{fm} \cdot \mathbf{n}_i \Delta S}{A_m} \quad (2.24)$$

### **2.3.5 Kaynak Terimin Ayrıklaştırılması**

Kaynak terimi  $S_\phi$ 'nin integrali birinci derece bir yaklaşım ile 2.25 no'lu denklemdeki gibi hesaplanabilir.

$$S_i = S_\phi A_i \quad (2.25)$$

Sonuç olarak yukarıda anlatılmış olan yöntemleri kullanarak yapılan ayrıklaştırma ile elde edilen lineer denklem sisteminin çözümü bize 2.1 ve 2.2 no'lu denklemelerde iki değişik şekilde yazılmış olan denklemin çözümünü verecektir.

## **2.4 Taşınım-Yayınım Denkleminin Örnek Problem İçin Çözümü**

Taşınım-Yayınım probleminin sonlu hacimler metodu ile test etmek için Shih [26] tarafından geliştirilen yöntem kullanılmıştır.

### **2.4.1 Test Fonksiyonu**

Test fonksiyonu olarak 2.26 no'lu denklemdeki trigonometrik fonksiyonu seçilmiştir. Akım fonksiyonu ise 2.27 denlemindeki gibi seçilmiştir.

$$\phi = \sin(\pi x) \sin(\pi y) \quad (2.26)$$

$$\psi = \sin(\pi x) \sin(\pi y) \quad (2.27)$$

$x$  e  $y$  yönlerindeki hızlar akım fonksiyonundan 2.28 gibi türetilmiştir.

$$\begin{aligned} u &= \frac{\partial \psi}{\partial y} = \pi \sin(\pi x) \cos(\pi y) \\ v &= -\frac{\partial \psi}{\partial x} = -\pi \cos(\pi x) \sin(\pi y) \end{aligned} \quad (2.28)$$

Eğer 2.26 ve 2.28 no'lu denklemlerdeki  $\phi$  e hızların fonksiyonları 2.1 no'lu denkleme yerleştirilip gerekli işlemler ve sadeleştirmeler yapılrsa 2.29 no'lu denklemdeki kaynak terimi elde edilir.

$$S_\phi = 2\pi^2 \sin(\pi x) \sin(\pi y) \quad (2.29)$$

#### 2.4.2 Çözüm Yöntemi

Hesaplamalar Merkezi Farklar, Yukarı Farklar ve İkinci Derece Yukarı Farklar yöntemleri kullanılarak kare şeklinde  $[0, 1] \times [0, 1]$  büyüğünde bir çözüm alanında Dirichlet sınır koşulu ile yapılmıştır. Çözümlerde düzgün dik ve yapısal olmayan hesap ağları kullanılmıştır. Elde edilen lineer denklem sistemi Bi-CGSTAB metodu ile çözülmüştür. Bu metodun detayları eklerde verilmiştir.

#### 2.4.3 Hesaplamalar

Bütün çözümlemelerde daha sağlıklı karşılaştırma yapmak amacı ile kontrol hacmi sayısının yaklaşık olarak eşit olmasına dikkat edilmiştir. Çözümlermelerde hesap ağlarını ve interpolasyon yöntemlerini karşılaştırmak amacı ile bağıl hata ve mutlak hata ayrı olarak incelenmiştir. Mutlak hata 2.30 no'lu denkleme, bağıl hata ise 2.31 no'lu denkleme göre hesaplanmıştır.

$$\varepsilon = |\phi_{exact} - \phi_{computed}| \quad (2.30)$$

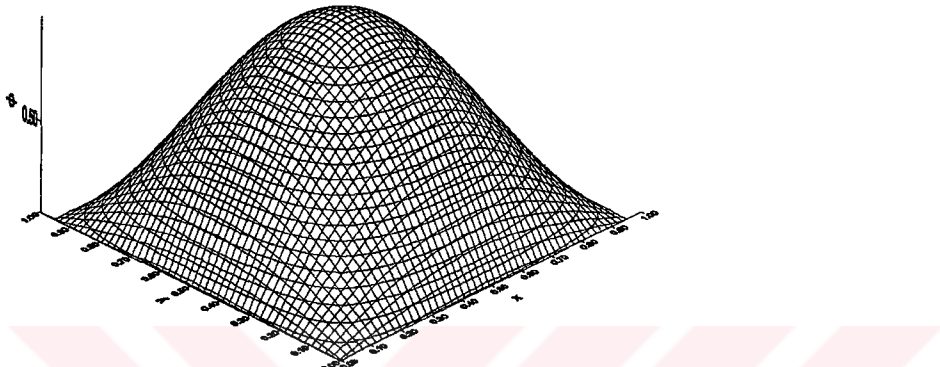
$$\epsilon = \left| \frac{\phi_{exact} - \phi_{computed}}{\phi_{exact}} \right| \quad (2.31)$$

Oluşan mutlak ve bağıl hatanın karşılaştırılmak amacı ile hataların  $L_1$ ,  $L_2$  ve  $L_\infty$  normları kıyaslanmıştır. Bu normlar sırası ile 2.32, 2.33 ve 2.34 no'lu denklemelerde herhangi bir vektör için tanımlanmıştır.

$$\|\mathbf{x}\|_1 = \sum_{i=1}^n |x_i| \quad (2.32)$$

$$\| \mathbf{x} \|_2 = \left( \sum_{i=1}^n x_i^2 \right)^{(1/2)} \quad (2.33)$$

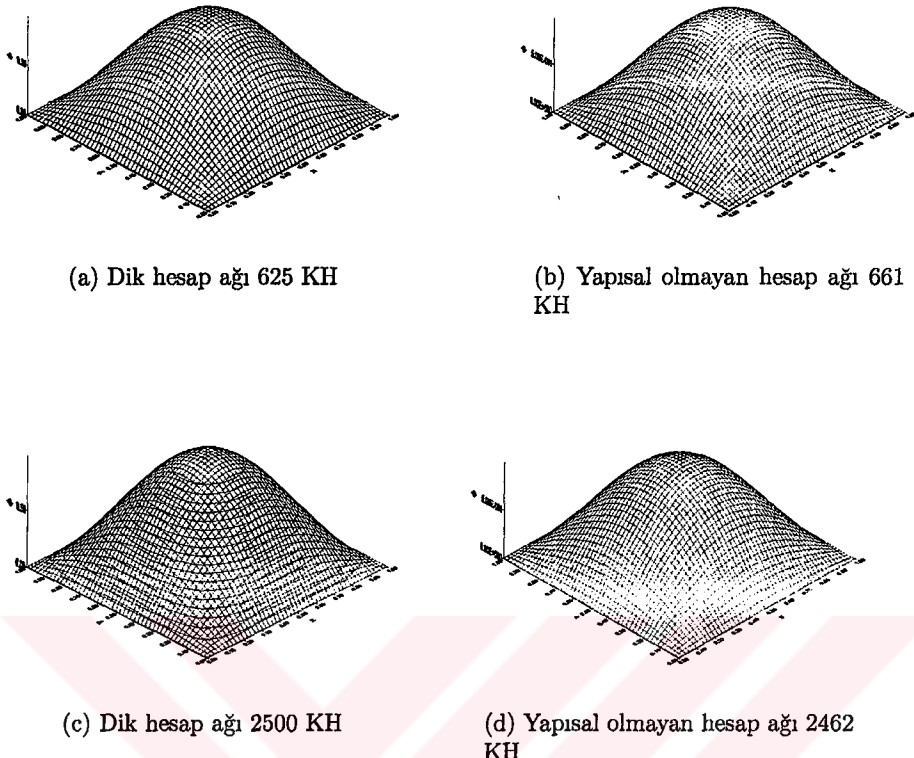
$$\| \mathbf{x} \|_\infty = \max_{1 \leq i \leq n} |x_i| \quad (2.34)$$



Şekil 2.7:  $\phi$ 'nin çözüm alanı içerisindeki değişimi.

Şekil 2.7'den de görüldüğü gibi  $\phi$  çözüm alanı içerisinde anı değişimler göstermemektedir. Bu nedenle Şekil 2.8'de de görüldüğü üzere merkezi farklar yöntemi ile yapılan hesaplamlarda hem yapısal olmayan hresap ağında, hem de dik hesap ağında çözüm alanı içerisinde anı ve gerçekçi olmayan yükseltiler veya dalgalanmalar tespit edilmemiştir.

Merkezi farklar yöntemi ile yapılan hesaplamlarda Şekil 2.9'de bağıl hata  $\epsilon$  incelenmiş ve dik hesap ağlarında elde edilen çözümün çözüm alanı içerisinde sabit olduğu ve bağıl hatanın 2500 KH için 0,0003291, 625 KH için 0,001317 olduğu tespit edilmiştir. Yapısal olmayan hesap ağlarında ise bağıl hatanın çözüm alanı içerisinde değişken olduğu, özellikle çözüm alanı köşelerinde bağıl hatanın daha yüksek olduğu, bu bölgelerde 661 KH ile yapılan hesaplamlarda hatanın  $10^{-2}$  mertebelerine, 2462 KH ile yapılan hesaplamlarda ise  $10^{-3}$  mertebelerine çıktığı görülmüştür. 661KH ile yapılan hesaplamlarda bağıl hatanın çözüm alanı içerisinde çok az değiştiği görülmüş, 2462 KH ile yapılan hesaplamlarda ise bağıl hatanın çözüm alanı içerisinde de değişken olduğu ancak genel olarak  $10^{-4}$  mertebelerinde olduğu

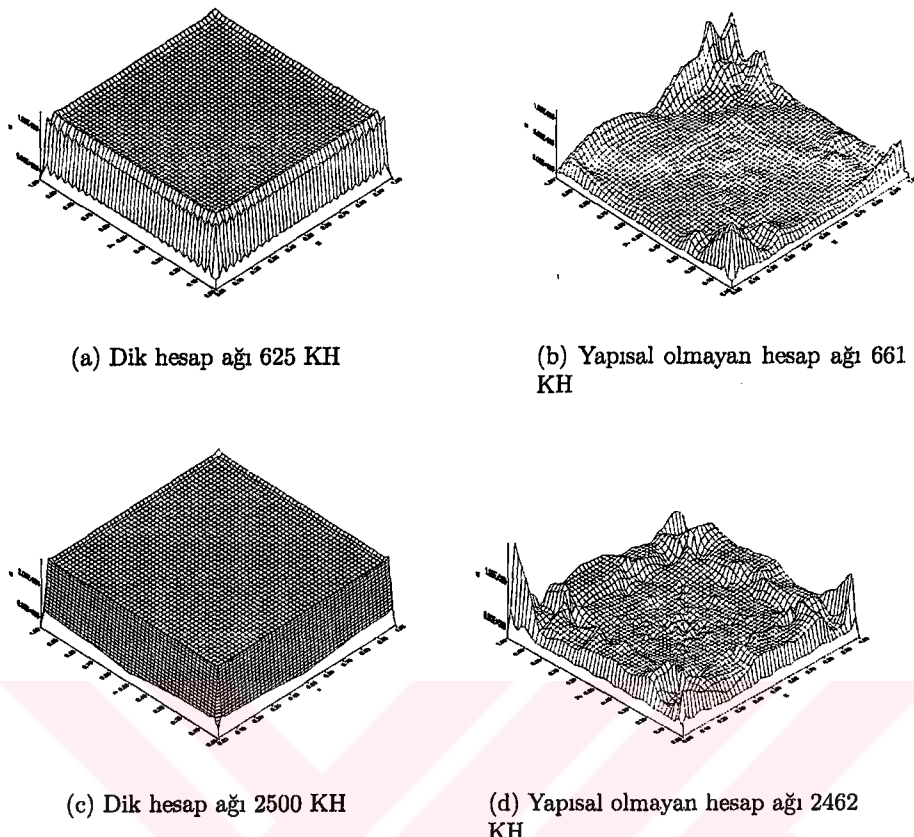


Şekil 2.8: Merkezi farklar yöntemi ile yapılan hesaplamalar.

Şekil 2.9'de görülmektedir. Tablo 2.1 incelediği zaman dik 2500 KH ile yapılan hesaplama mutlak hata  $\epsilon$ 'nun  $L_1$  normunun 2462 KH ile yapılan hesaplama dakteine göre daha yüksek olduğu tespit edilmiştir. Benzer durum 661 KH ile yapılan hesaplama ve 625 KH ile yapılan hesaplama içinde geçerlidir.

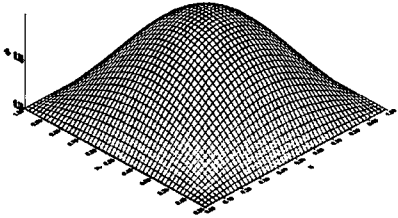
Şekil 2.10'de birinci derece yukarı farklar yöntemi ile yapılan hesaplama görülmektedir. Burada görüldüğü üzere birinci derece yukarı farklar yöntemi ile yapılan hesaplama elde edilen çözümlerde gerçekçi olmayan dalgalanmalar veya ani değişimler tespit edilmemiştir.

Birinci derece yukarı farklar yöntemi ile yapılan hesaplama sonucu elde edilen bağıl hata grafikleri Şekil 2.11'de gösterilmiştir. Bu grafikleri incelediğimiz zaman düzgün dik hesap ağlarında bağıl hatanın çözüm alanı içerisinde sabit olmadığını sinusoidal olarak değiştiği görülmektedir.

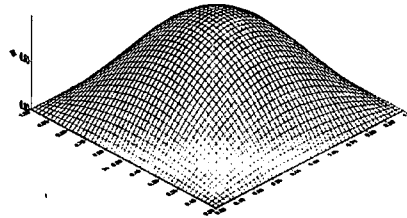


Şekil 2.9: Merkezi farklar yöntemi ile yapılan hesaplamalarda meydana gelen bağıl hata.

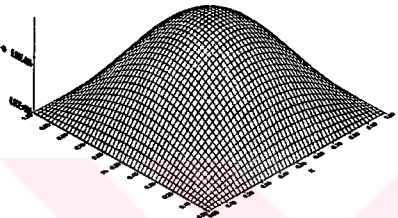
Yapısal olmayan hesap ağlarında ise hatanın benzer bir şekilde çözüm alanı içérdsinde sinusoidal olarak değiştiği ancak çözüm alanının orta kısmında yer alan ve üçgen kontrol hacimlerinden oluşan bölgede hemen hemen sabit olduğu görülmektedir. Hem yapısal dik hesap ağlarında elde edilen çözümlerde, hem de yapısal olmayan hesap ağları ile elde edilen sonuçlarda bağıl hatanın çözüm alanının köşelerine doğru arttığını görmekteyiz. Köşelerdeki bağıl hatanın bütün hesap ağlarında  $10^{-2}$  mertebelerine çıktığı tespit edilmiştir. Yapısal olmayan çözüm ağında 2462 KH ile yapılan hesaplamalarda mutlak hatanın  $L_1$  normunun 2500 KH ile yapısal çözüm ağında yapılan hesaplamalardakinin yaklaşık 2 katı olduğu Tablo 2.1'de görülmektedir. Benzer durum aynı hesap ağında elde edilen  $L_2$  normu içinde geçerlidir. 661 KH ve 625 KH'li çözüm ağlarında ise bu oran biraz daha



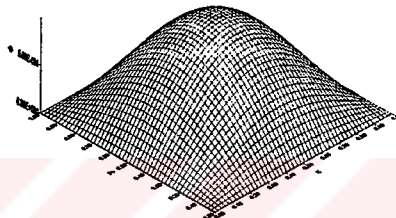
(a) Dik hesap ağı 625 KH



(b) Yapısal olmayan hesap ağı 661 KH



(c) Dik hesap ağı 2500 KH



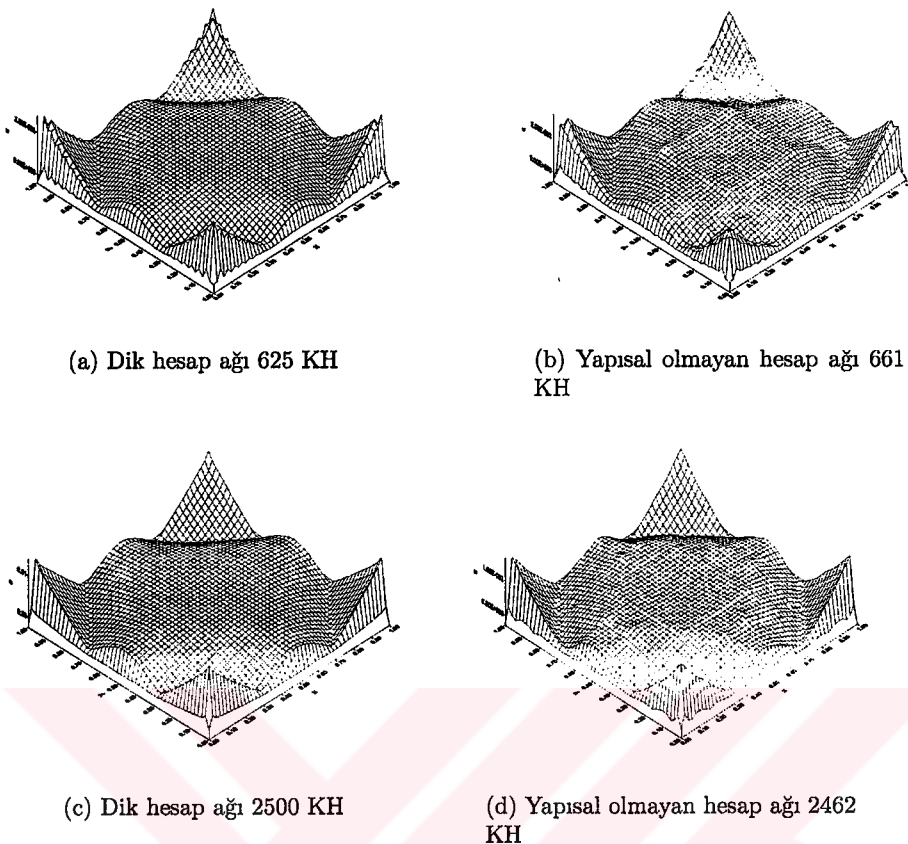
(d) Yapısal olmayan hesap ağı 2462 KH

Şekil 2.10: Birinci derece yukarı farklar yöntemi ile yapılan hesaplamalar.

düşüktür. Diğer taraftan  $L_\infty$  normunu incelediğimiz zaman bütün hesap ağlarında bu normun  $10^{-2}$  mertebelerinde olduğunu ve yapısal dik çözüm ağları ile yaklaşık aynı kontrol hacmi sayısına sahip yapısal olmayan hesap ağları arasında önemli farklar bulunmadığı görülmüştür.

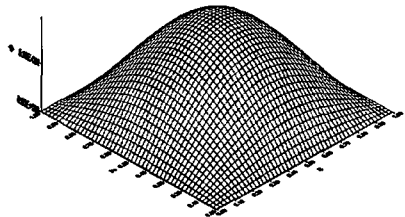
İkinci derece yukarı farklar yöntemi ile yapılan hesaplamalarda da, Şekil 2.12'de görüldüğü üzere, birinci derece yukarı farklar ve merkezi farklar yöntemlerinde olduğu gibi gerçekçi olmayan dalgalanmalar görülmemiştir.

İkinci derece yukarı farklar yöntemi ile yapılan hesaplamalarda Şekil 2.13 merkezi farklar yöntemi ile elde edilen sonuçlarda olduğu gibi yapısal dik hesap ağları ile elde edilen sonuçlarda bağıl hatanın sabit olduğu, bağıl hatanın değerinin 2500 KH'lı çözüm ağı için 0,000342, 625 KH'lı hesap ağı için 0,006972 olarak tespit edilmiştir. Yapısal olmayan hesap ağlarında ise bağıl hatanın çözüm alanı içerisinde değişkenlik gösterdiği görülmüştür.

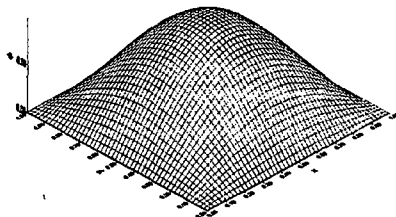


Şekil 2.11: Birinci derece yukarı farklar yöntemi ile yapılan hesaplamalarda meydana gelen bağlı hata.

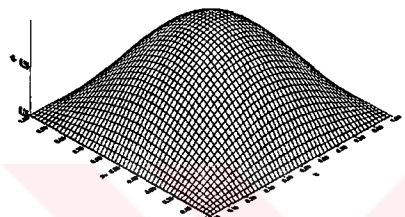
Ancak bu değişkenliğin hem 661 KH ile elde ediliş olan sonuçlarda hem de 2462 KH ile elde edilen sonuçlarda çok fazla olmadığı tespit edilmiş, genel olarak bağıl hatanın 2462 KH ile yapılan hesaplamalarda  $10^{-4}$ , 661 KH ile yapılan hesaplamalarda  $10^{-3}$  mertebelerinde olduğu görülmüştür. Ayrıca yapısal olmayan hesap ağları ile yapılan hesaplamalarda . merkezi farklar ve 1 derece yukarı farklar yöntemi ile yapılan hesaplamalarda görülen bağıl hatanın köşelere doğru artışı görülmemiştir. Tablo 2.1'de mutlak hatanının  $L_1$  normunun yapısal olmayan hesap ağlarında, yapısal hesap ağlarında hesaplananlara göre daha düşük olduğu saptanmıştır. İkinci derece yukarı farklar yöntemi ile elde edilen sonuçların  $L_2$  normları incelendiğinde 2500 KH'lı yapısal hesap ağında hesaplanan değerin, 2462 KH'lı yapısal olmayan hesap ağında hesaplanan değerden yüksek olduğu görülmektedir. Diğer



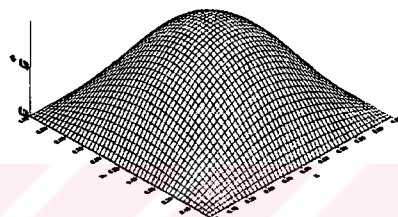
(a) Dik hesap ağı 625 KH



(b) Yapısal olmayan hesap ağı 661 KH



(c) Dik hesap ağı 2500 KH



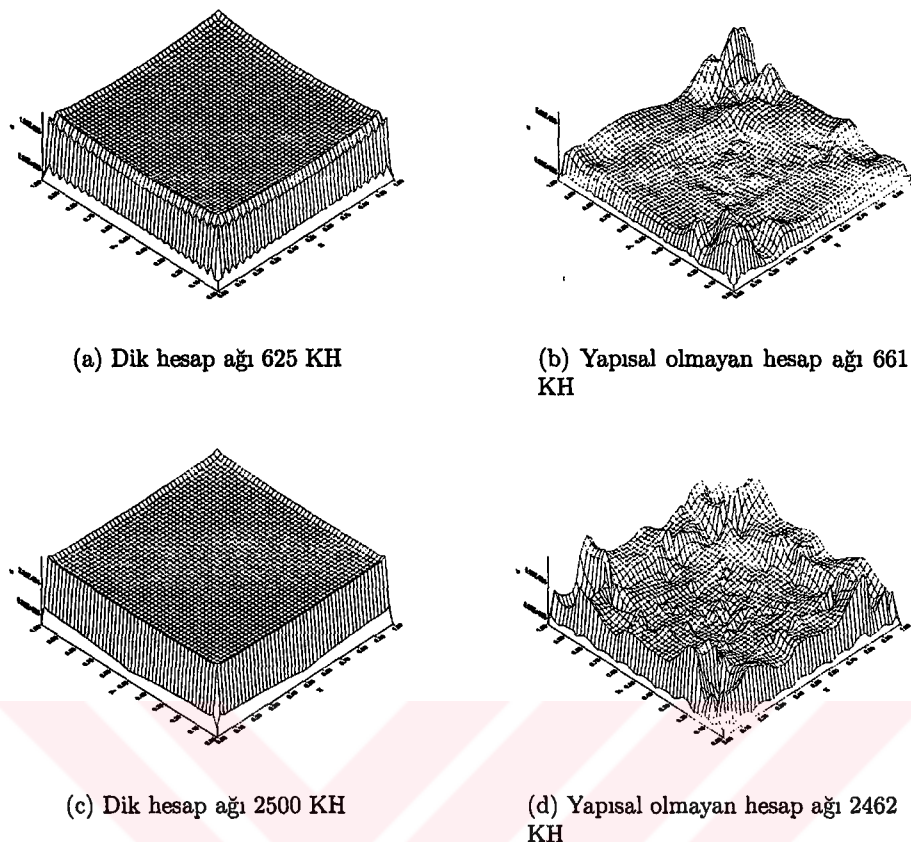
(d) Yapısal olmayan hesap ağı 2462 KH

Sekil 2.12: İkinci derece yukarı farklar yöntemi ile yapılan hesaplamalar.

taraftan 625 KH'li yapısal dik hesap ağı ile hesaplanan  $L_2$  normunun, 661 KH'li yapısal olmayan hesap ağında hesaplanan değer ile hemen hemen aynı olduğu görülmüştür.  $L_\infty$  normunun ise yapısal olmayan hesap ağlarında yapısal hesap ağlarında hesaplanaların 3-4 katı olduğu tespit edilmiştir.

Tablo 2.1: Yapılan hesaplamalardaki mutlak hata  $\varepsilon$ 'un  $L_1$  normu.

	Merkezi Farklar Yöntemi	1. Derece Yukarı Farklar Yöntemi	2. Derece Yukarı Farklar Yöntemi
2462 KH Yapısal Olmayan Hesap Ağı	0,24433323	8,82002376	0,24468428
2500 KH Yapısal Hesap Ağı	0,33343976	4,94802730	0,32848898
661 KH Yapısal Olmayan Hesap Ağı	0,25108490	3,83711007	0,24768987
625 KH Yapısal Hesap Ağı	0,39403609	2,29352945	0,32410228



Sekil 2.13: İkinci derece yukarı farklar yöntemi ile yapılan hesaplamalarda meydana gelen bağıl hata.

Tablo 2.2: Yapılan hesaplamalardaki mutlak hata  $\varepsilon$ 'un  $L_2$  normu.

	Merkezi Farklar Yöntemi	1. Derece Yukarı Farklar Yöntemi	2. Derece Yukarı Farklar Yöntemi
2462 KH Yapısal Olmayan Hesap Ağı	0,002359	0,21480523	0,00546535
2500 KH Yapısal Hesap Ağı	0,008226	0,13550486	0,00808647
661 KH Yapısal Olmayan Hesap Ağı	0,011556	0,18772618	0,01158965
625 KH Yapısal Hesap Ağı	0,016462	0,12557714	0,01590883

#### 2.4.4 Sonuç

Yapılan hesaplamalar sonucunda genel olarak yapısal olayan hesap ağları ile yapılan hesaplamalarda  $L_\infty$  normunun yapısal dik hesap ağlarında yapılan hesaplamalara göre yüksek olduğu tespit edilmiştir. Ancak yapısal olmayan hesap ağlarının karmaşık gemoetriklere kolayaca uyarlanabilmesi ve hesap

Tablo 2.3: Yapılan hesaplamalardaki bağıl hata  $\epsilon$ 'un  $L_\infty$  normu.

	Merkezi Farklar Yöntemi	1. Derece Yukarı Farklar Yöntemi	2. Derece Yukarı Farklar Yöntemi
2462 KH Yapısal Olmayan Hesap Ağrı	0,002359	0,017469	0,001039
2500 KH Yapısal Hesap Ağrı	0,000329	0,013923	0,000342
661 KH Yapısal Olmayan Hesap Ağrı	0,014113	0,036499	0,000972
625 KH Yapısal Hesap Ağrı	0,001317	0,028105	0,001432

ağı oluşturma süresinin kısa olması gibi avantajları ve bağıl hatanın  $L_\infty$  normunun mühendislik uygulamaları için kabul edilebilir seviye olan %3'den düşük olduğu görülmüştür. Ayrıca hesap ağını sıklaştırdıkça bağıl hatanın %0,1 seviyelerine kadar düştüğü tespit edilmiştir. Yapısal olmayan hesap ağrı ile elde edilen sonuçlarda görülen bağıl hatanın köşelere doğru yükselmesinin ikinci derece yukarı farklar yöntemi ile aynı hesap ağrı kullanılarak yapılan hesaplamalarda görülmemesi, diğer taraftan yapısal dik hesap ağrı ve merkezi farklar metodu kullanılarak yapılan hesaplamarda da hatanın çözüm alanı içerisinde sabit olması bunun merkezi farklar yönteminin yapısal olmayan hesap ağlarındaki ayriklaştırılmasından kaynaklandığını göstermektedir. Diğer taraftan mutlak hatanın  $L_1$  normunun hemen hemen eşit olması,yani toplam hatanın merkezi farklar yöntemi ile yapılan hesaplamalarda ve ikinci derece yukarı farklar yöntemi ile yapılan hesaplamalarda da hemen hemen aynı olması her iki metodunda ikinci derece hassasiyete sahip olmasından kaynaklanmaktadır. Birinci derece yukarı farklar yöntemi kullanılarak yapılan hesaplamalarda köşelerde hatanın yüksek olması ise, hesap ağından bağımsız, ayriklaştırma yönteminden kaynaklanmaktadır.

## BÖLÜM 3

### AKIŞ DENKLEMLERİ VE BOYUTSUZLAŞTIRILMASI

Bu çalışma kapsamında sadece iki boyutlu sabit sıcaklık ve sabit ağıdalıklı akışlar incelenecaktır. Sıcaklığın ve ağıdalığın sabit olduğu sıkıştırılamaz bir akış problemini çözmek için Navier-Stokes ve süreklilik denklemi yeterlidir. Bu denklemler tensör notasyonunda aşağıdaki gibi yazılabilir.

$$\rho \left( \frac{\partial u_i}{\partial t} + \frac{\partial u_i u_j}{\partial x_j} \right) = - \frac{\partial p}{\partial x_i} + \mu \frac{\partial^2 u_i}{\partial x_j^2} \quad (3.1)$$

$$\frac{\partial u_i}{\partial x_i} = 0 \quad (3.2)$$

Bu denklemler integral formda ise 3.3 e 3.4 denklemlerde olduğu gibi yazılabilir.

$$\rho \left( \frac{\partial}{\partial t} \int_{\Omega} u_i d\Omega + \oint_S u_i u_j n_j dS \right) = - \int_{\Omega} \frac{\partial p}{\partial x_i} d\Omega + \mu \oint_S \frac{\partial u_i}{\partial x_j} n_j dS \quad (3.3)$$

$$\oint u_i n_i dS = 0 \quad (3.4)$$

Bağımlı ve bağımsız değişkenleri 3.5 deki ifadelerde olduğu gibi yeniden tanımlayalım.

$$U_i = \frac{u_i}{u_{\infty}} \quad X_i = \frac{x_i}{L} \quad P = \frac{p - p_{\infty}}{\rho u_{\infty}^2} \quad (3.5)$$

Bu durumda Navier-Stokes denlemleri ve süreklilik denklemleri diferansiyel formda 3.6 ve 3.7 denklemlerindeki hali alır.

$$\frac{\partial U_i}{\partial t} + \frac{\partial U_i U_j}{\partial X_j} = - \frac{\partial P}{\partial X_i} + \frac{1}{Re} \frac{\partial^2 U_i}{\partial X_j^2} \quad (3.6)$$

$$\frac{\partial U_i}{\partial X_i} = 0 \quad (3.7)$$

Benzer şekilde integral formda ise denklemler 3.8 ve 3.9 denklemlerindeki hali alırlar.

$$\frac{\partial}{\partial t} \int_{\Omega} U_i d\Omega + \oint_S U_i U_j n_j dS = - \int_{\Omega} \frac{\partial P}{\partial X_i} d\Omega + \frac{1}{Re} \oint_S \frac{\partial U_i}{\partial X_j} n_j dS \quad (3.8)$$

$$\oint_S U_i n_i dS = 0 \quad (3.9)$$

Kartezyen kordinatlarda ise iki boyutlu sabit sıcaklıklı ve sabit ağıdalıklı, sıkıştırılamaz bir akışı tanımlayan denklemler diferansiyel ve integral formda 3.10, 3.11, 3.12, 3.13, 3.14 ve 3.15 denklemlerindeki hali alırlar.

$$\rho \left( \frac{\partial u}{\partial t} + \frac{\partial uu}{\partial x} + \frac{\partial uv}{\partial y} \right) = - \frac{\partial p}{\partial x} + \mu \left( \frac{\partial^2 u}{\partial x^2} + \frac{\partial^2 u}{\partial y^2} \right) \quad (3.10)$$

$$\rho \left( \frac{\partial v}{\partial t} + \frac{\partial vu}{\partial x} + \frac{\partial vv}{\partial y} \right) = - \frac{\partial p}{\partial y} + \mu \left( \frac{\partial^2 v}{\partial x^2} + \frac{\partial^2 v}{\partial y^2} \right) \quad (3.11)$$

$$\frac{\partial u}{\partial x} + \frac{\partial v}{\partial y} = 0 \quad (3.12)$$

$$\frac{\partial}{\partial t} \int_{\Omega} \rho u d\Omega + \oint_S \rho u (u n_x + v n_y) dS = - \int_{\Omega} \frac{\partial p}{\partial x} d\Omega + \mu \oint_S \left( \frac{\partial u}{\partial x} n_x + \frac{\partial u}{\partial y} n_y \right) dS \quad (3.13)$$

$$\frac{\partial}{\partial t} \int_{\Omega} \rho v d\Omega + \oint_S \rho v (u n_x + v n_y) dS = - \int_{\Omega} \frac{\partial p}{\partial y} d\Omega + \mu \oint_S \left( \frac{\partial v}{\partial x} n_x + \frac{\partial v}{\partial y} n_y \right) dS \quad (3.14)$$

$$\oint_S (u n_x + v n_y) dS = 0 \quad (3.15)$$

## BÖLÜM 4

### AKIŞ DENKLEMLERİNİN AYRIKLAŞTIRILMASI VE SIMPLE ALGORİTMASI

#### 4.1 SIMPLE Algoritması

Ayrıklaştırılmış momentum denklemleri yarı ayrıklaştırılmış halde 4.1 ve 4.2 denklemlerindeki gibi yazılabilir.

$$Amu_m = \sum_{nb} A_{nb} u_{nb} - \frac{\partial p}{\partial x} \Delta \Omega + S_u \quad (4.1)$$

$$Amv_m = \sum_{nb} A_{nb} v_{nb} - \frac{\partial p}{\partial y} \Delta \Omega + S_v \quad (4.2)$$

Momentum denklemlerinin çözümünden elde edilen hız ve basınç değerleri süreklilik denklemini sağlamazlar. Bu nedenle bu denklemlerin çözümünden elde edilen hız ve basınç değerlerini sırası ile  $u^*$  ve  $v^*$  ile gösterirsek ve momentum denklemlerini tekrar yazarsak 4.3 ve 4.4 denklemleri elde edilir.

$$Amu_m^* = \sum_{nb} A_{nb} u_{nb}^* - \frac{\partial p^*}{\partial x} \Delta \Omega + S_u \quad (4.3)$$

$$Amv_m^* = \sum_{nb} A_{nb} v_{nb}^* - \frac{\partial p^*}{\partial y} \Delta \Omega + S_v \quad (4.4)$$

Bu denklemlerin çözümü sırasında kullanılan basınç bir önceki iterasyonda hesaplanmış olan basınç değeridir. SIMPLE algoritmasında momentum denklemlerinin çözümü sırasında hesaplanmaz. Eğer 4.3 ve 4.4 denklemlerini, 4.1 ve 4.2 denklemlerinden çıkartırsak 4.5 ve 4.6 denklemleri elde edilir.

$$Amu_m' = \sum_{nb} A_{nb} u_{nb}' - \frac{\partial p'}{\partial x} \Delta \Omega \quad (4.5)$$

$$Amv_m' = \sum_{nb} A_{nb} v_{nb}' - \frac{\partial p'}{\partial y} \Delta \Omega \quad (4.6)$$

4.5 ve 4.6 denklemlerindeki  $u'$ ,  $v'$  ve  $p'$  sırasıyla hız düzeltme ve basınç düzeltme değerleridir. Bu denklemlere dayanarak herhangi bir noktadaki hız ve basınç değerleri 4.7 deki gibi yazılabilir.

$$u = u^* + u' \quad (4.7)$$

$$v = v^* + v' \quad (4.8)$$

$$p = p^* + p' \quad (4.9)$$

4.5 ve 4.6 denklemlerinde görüldüğü üzere herhangi bir kontrol hacmindeki hız düzeltme değeri o kontrol hacmindeki basınç düzeltme değerine ve komşu kontrol hacimlerindeki hız düzeltme değerlerine bağlıdır. SIMPLE algoritmasında komşu kontrol hacimlerindeki hız düzeltme değerlerinin etkisi ihmal edilir. Bu durumda herhangi bir noktadaki hız düzeltme değeri 4.10 ve 4.11 denklemlerindeki gibi yazılabilir.

$$u' = -\frac{1}{Am} \frac{\partial p'}{\partial x} \Delta\Omega \quad (4.10)$$

$$v' = -\frac{1}{Am} \frac{\partial p'}{\partial y} \Delta\Omega \quad (4.11)$$

SIMPLE algoritmasında basınç düzeltme değerlerini hesaplamak amacıyla süreklilik denklemini kullanılmaktadır. Bu nedenle süreklilik denklemini integral formda tekrar yazalım.

$$\oint \rho(un_x + vn_y) dS = 0 \quad (4.12)$$

4.7 denklemindeki hız ile ilgili ifadeleri 4.12 denkleminde yerine koyarsak 4.13 denklemini elde ederiz.

$$\oint \rho(u^*n_x + v^*n_y) dS + \oint \rho(u'n_x + v'n_y) dS = 0 \quad (4.13)$$

Düzeltme denklemini elde etmek için 4.10 ve 4.11 denklemeleri 4.13 denklemine yerleştirip gerekli düzenlemeler yapılrsa 4.14 denklemi elde edilir.

$$\oint \rho(u^*n_x + v^*n_y)dS = \oint \rho(-\frac{1}{Am} \frac{\partial p'}{\partial x} \Delta \Omega n_x + \frac{1}{Am} \frac{\partial p'}{\partial y} \Delta \Omega n_y)dS \quad (4.14)$$

4.14 denklemi en genel halde ise 4.15 denkleminde olduğu gibi yazılır.

$$\oint \rho(u^*n_x + v^*n_y)dS = \oint \frac{\rho \Delta \Omega}{Am} \frac{\partial p'}{\partial n} dS \quad (4.15)$$

Eğer kısaca SIMPLE metodunu özetlersek

1. 4.3 ve 4.4 denklemelerini kullanarak  $u^*$  ve  $v^*$  değerlerini hesapla.
2. 4.15 denklemi kullanarak basıç düzeltme değerlerini hesapla.
3. 4.10 ve 4.11 denklemelerini kullanarak hız düzeltme denklemelerini hesapla.
4. 4.7-4.9 denklemelerini kullanarak yeni hız ve basınç değerlerini hesapla.
5. Eğer yakınsamış ise dur.
6. Hesaplanan hız değerlerini bir sonraki iterasyon için başlangıç değeri olarak alıp 1. adımdan itibaren işlemleri tekrarla.

## 4.2 Momentum Denklemelerinin Ayrıklaştırılması

Taşınım-Yayınım denkleminin ayrıklaştırılması sırasında taşınım ve yayınım terimlerinin ayrıklaştırılması detaylı olarak anlatılmıştır. Bu nedenle x ve y momentum denklemelerinin ayrıklaştırılması sırasında Taşınım-Yayınım denkleminde x momentum denklemi için  $\phi$  yerine  $u$ , y momentum denkleminde ise  $\phi$  yerine  $v$  konuları yeterli olacaktır. En genel halde ayrıklatılmış momentum denklemleri aşağıdaki hali alır.

$$Amu_m^* = \sum_{nb} A_{nb} u_{nb}^* + S_{up} + S_u \quad (4.16)$$

$$Amv_m^* = \sum_{nb} A_{nb} v_{nb}^* + S_{vp} + S_v \quad (4.17)$$

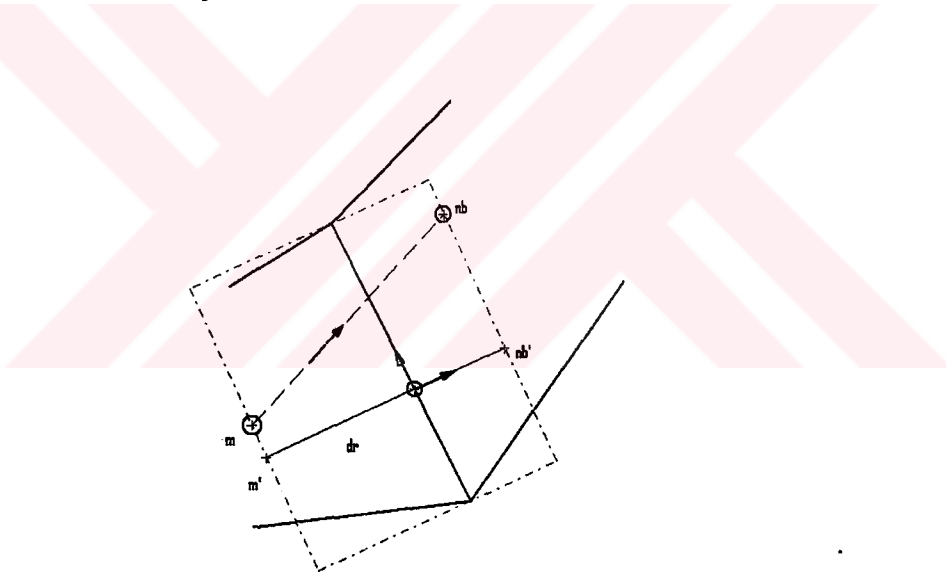
4.16 ve 4.17 denklemlerinde  $S_{up}$  ve  $S_{vp}$  terimleri akış elemanı üzerinde basınç yayılışının oluşturduğu kuvvettir. Bu terimler 4.18 ve 4.19 denklemlerinde olduğu gibi hesaplanır.

$$S_{up} = - \int \frac{\partial p}{\partial x} d\Omega = - \oint p \vec{i} \cdot n_x dS = \sum_i^{n_{face}} p_i \vec{i} \cdot n_{x_i} \Delta S_i \quad (4.18)$$

$$S_{vp} = - \int \frac{\partial p}{\partial y} d\Omega = - \oint p \vec{j} \cdot n_y dS = \sum_i^{n_{face}} p_i \vec{j} \cdot n_{y_i} \Delta S_i \quad (4.19)$$

### 4.3 Basınç Ağırlıklı İnterpolasyon Yöntemi

Bilindiği üzere hücre merkezli hesap ağı kullanıldığı zaman momentum ve süreklilik denklemi arasındaki bağ kopmaktadır. Bu bağlantıyı sağlamak amacıyla Basınç Ağırlıklı İnterpolasyon Metodu ilk defa Rhie ve Chow [14] tarafından kullanılmıştır.



Şekil 4.1: Ara yüzeyde oluşturulan sanal kontrol hacmi.

Bu yöntemde iki kontrol hacminin ara yüzeyinde Şekil 4.1'de görüldüğü gibi, yüzeyin normali doğrultusunda sanal bir kontrol hacmi alınır ve bu kontrol hacmi için Navier-Stokes denklemi 4.20 yazılır.

$$u_{nf} = \overline{H_f} - \frac{1}{Am_f} \int \frac{\partial p}{\partial n} d\Omega \quad (4.20)$$

4.20 denkleminde üzeri çizgili olan terimler interpolasyon yolu ile elde edilmiş terimlerdir. Bu terimleri elde edebilmek için öncelikle ara yüzeyin sağındaki ve solundaki kontrol hacimler için  $\mathbf{n}$  doğrultusundaki momentum denklemelerini tekrar yazalım.

$$u_{nm} = H_m + \frac{1}{Am_m} (S_{u_np} |_m + S_{u_n} |_m) \quad (4.21)$$

$$u_{n_nb} = H_{nb} + \frac{1}{Am_{nb}} (S_{u_np} |_{nb} + S_{u_n} |_{nb}) \quad (4.22)$$

4.21, 4.22 ve 4.20 denklemelerinden anlaşılacağı gibi  $H_i$  terimi herhangi bir kontrol hacmi için 4.23 denklemindeki gibi tanımlanır.

$$H_i = \frac{\sum_{nb} A_{nb} u_{nb}}{Am_i} \quad (4.23)$$

Bu durumda  $H_i$  terimini herhangi bir kontrol hacmindeki  $\mathbf{n}$  momentum denkleminden çekersek 4.24 denklemindeki ifade elde edilir.

$$H_i = u_{ni} + \frac{1}{Am_i} \int \frac{\partial p}{\partial n} d\Omega \quad (4.24)$$

Ara yüzeydeki kontrol hacmi için ise  $H$  terimi 4.25 denklemindeki gibi yazılabilir.

$$\overline{H_f} = H_m(1 - \lambda) + H_{nb}\lambda \quad (4.25)$$

Bu durumda ara yüzeydeki ayrıklılaştırılmış momentum denklemi 4.26 daki hali alır.

$$u_{nf} = \overline{H_f} - \frac{1}{Am_f} \sum_i^{n_{face}} \frac{p_{nb} - p_m}{dr} \Delta\Omega_{f_i} \quad (4.26)$$

4.26 denklemindeki  $Am_f$  katsayısı iki komşu kontrol hacminin katsayıları kullanılarak lineer interpolasyon ile 4.27 denklemindeki gibi hesaplanır.

$$Am_f = Am_m(1 - \lambda) + Am_{nb}\lambda \quad (4.27)$$

#### 4.4 Basınç Düzeltme Denklemi

SIMPLE metodu anlatılırken basınç düzeltme denlemi 4.15'un nasıl elde edildiğini göstermiştık. Bu denklemin ayrılaştırılması sırasında yüzeydeki türevlerin hesaplanması momentum denkleminden (veya Taşınım-Yayınım denleminden) farklıdır. 4.15 denkleminden de görüleceği üzere basınç

düzeltme denkleminin sağ tarafı lineerleştirilmiş momentum denklemlerinin çözümü sonucu elde edilen ve süreklilik denklemini sağlamayan hız değerleri kullanılarak hesaplanır. Doğrudan lineer interpolasyon kullarak bu değerlerin hesaplanması [13]'de de belirtildiği gibi çözüm alanı içerisinde dalgalanmalara ve bazende hesaplamanın iraksamasına yol açmaktadır. Ancak bu değerler hem basınç ile hız arasındaki bağlantıyı sağlamak hem de bu dalgalanmalar önlemek amacıyla momentum denklemeleri çözüldükten sonra açık olarak Basınç Ağırlıklı İnterpolasyon Yöntemi kullanılarak hesaplanır. Denklemin sağ tarafı ise görüldüğü gibi basınç düzeltme değerlerinin gradyanın kontrol hacmi yüzeyi boyunca integralinden oluşmaktadır. İki dış döngüdeki basınç düzeltme değerleri arasında büyük fark olacağı için, buradaki türevlerin hesaplanması sırasında Taşınım-Yayınım denklemindeki yayınım terimlerinin ayrılaştırılmasındaki gibi basınç düzeltme değerleri köşelere interpolate edilmez. Basınç düzeltme denklemi iki defa çözülür.

Eğer 4.15 denklemindeki basınç düzeltme değerinin yüzeye normal doğrultudaki türevini yazarsak 4.28 denklemini elde ederiz.

$$\frac{\partial p'}{\partial n} = \frac{p'_{nb} - p'_m}{dr} + \frac{\text{grad}p'_{nb} \cdot (\mathbf{r}_{nb'} - \mathbf{r}_{nb}) - \text{grad}p'_m \cdot (\mathbf{r}_{m'} - \mathbf{r}_m)}{dr} \quad (4.28)$$

4.28 denkleminde de görüldüğü üzere denklemin ikinci teriminin hesaplanabilmesi için basınç düzeltme değerlerinin kontrol hacmi merkezlerindeki gradyanlarının hesaplanması gerekmektedir ve bu terimin kapalı olarak hesaplanması oldukça zordur. Bu nedenle ilk basınç düzeltme denkleminin çözümü sırasında ikinci terim ihmal edilir. Bu durumda basınç düzeltme denklemi 4.29 halini alır.

$$\sum_i^{n_{face}} Flux^* = \sum_i^{n_{face}} \frac{\rho \Delta \Omega_i}{A m_i} \Delta S_i \frac{p'_{nb_i} - p'_m}{dr} \quad (4.29)$$

Hızlar,basınç ve yüzeylerdeki aki hesaplandıktan sonra ikinci basınç düzeltme denklemi için 4.28 denklemindeki ikinci terim açık olarak birinci basınç düzeltme katsayısı kullanılarak hesaplanır. Bu durumda ikinci basınç düzeltme denklemi 4.30 halini alır.

$$\begin{aligned} & \sum_i^{n_{face}} Flux^{**} \\ & + \sum_i^{n_{face}} \frac{\rho \Delta \Omega_i}{A m_i} \Delta S_i \left( \frac{grad p'_m \cdot (\mathbf{r}_{m'} - \mathbf{r}_m) - grad p'_{nb} \cdot (\mathbf{r}_{nb'} - \mathbf{r}_{nb})}{dr} \right) = \sum_i^{n_{face}} \frac{\rho \Delta \Omega_i}{A m_i} \Delta S_i \frac{p''_{nb_i} - p''_m}{dr} \end{aligned} \quad (4.30)$$

Basınç düzeltme kademeleri [28] 'de olduğu gibi artırılabilir.

#### 4.5 Sınır Koşulları

Çözüm alanının sınırlarında bulunan kontrol hacimleri için 4.3 ve 4.4 denklemelerini çözerken, momentum değişiminden dolayı yüzeye etkiyen kuvvet 4.31 ve 4.32 denklemeleri kullanılarak açık olarak hesaplanır ve kaynak terime eklenir.

$$C_{u_i} = Flux_i u_i \quad (4.31)$$

$$C_{v_i} = Flux_i v_i \quad (4.32)$$

Yayınım terimleri ise taşınım terimlerinden farklı olarak 1. derece yaklaşım ile 2.21 denkleminde komşu kontrol hacminin etkisi bağımlı değişkenin sınır üzerindeki değeri yazılarak hesaplanır. Bu durumda herhangi bir değişkenin sınırdaki yüzeye normal doğrultudaki türevi 4.33 'deki gibi olur.

$$\frac{\partial \phi}{\partial n} |_b = \frac{\phi_b - \phi_m}{dr} + \frac{\phi_e - \phi_b}{dr \Delta S} ((y_m - y_{nb}) n_x + (x_{nb} - x_m) n_y) \quad (4.33)$$

Yapısal çözüm ağlarında bağımsız değişkenlerin çözüm alanı sınırlarındaki değerleri değişik şekillerde hesaplanabilir. Ancak yapısal olayan hesap ağlarında sınırdaki değerleri hesaplamak zordur. Bağımsız değişkenlerin

çözüm alanı sınırlarındaki değerlerini hesaplamak için değişik yöntemler kullanılmaktadır([23], [5]). Bu çalışmada temel olarak giriş, basınç, çıkış, simetri, ve duvar koşulu ele alınmıştır.

#### 4.5.1 Giriş Sınır Koşulu

Giriş sınır koşulunda hızlar tanımlanmıştır. Giriş sınırında [5] no'lu referansdaki gibi basınç gradyanının sıfır olduğu değil, basınç gradyanının sabit olduğu kabul edilmiştir. Bu durumda basınç sınıra komşu olan kontrol hacminin merkezinden extrapolasyon yolu ile 4.34 denklemi kullanılarak hesaplanır.

$$p_b = p_m + \text{grad}(p)_m \cdot (\mathbf{r}_b - \mathbf{r}_m) \quad (4.34)$$

#### 4.5.2 Basınç Sınır Koşulu

Basınç sınır koşulunda giriş sınır koşulundakinin tersine basınç tanımlanmıştır. Hızlar ise 4.35 ve 4.36 denklemleri yardımı ile hesaplanır.

$$u_b = u_m + \text{grad}(u)_m \cdot (\mathbf{r}_b - \mathbf{r}_m) \quad (4.35)$$

$$v_b = v_m + \text{grad}(v)_m \cdot (\mathbf{r}_b - \mathbf{r}_m) \quad (4.36)$$

#### 4.5.3 Çıkış Sınır Koşulu

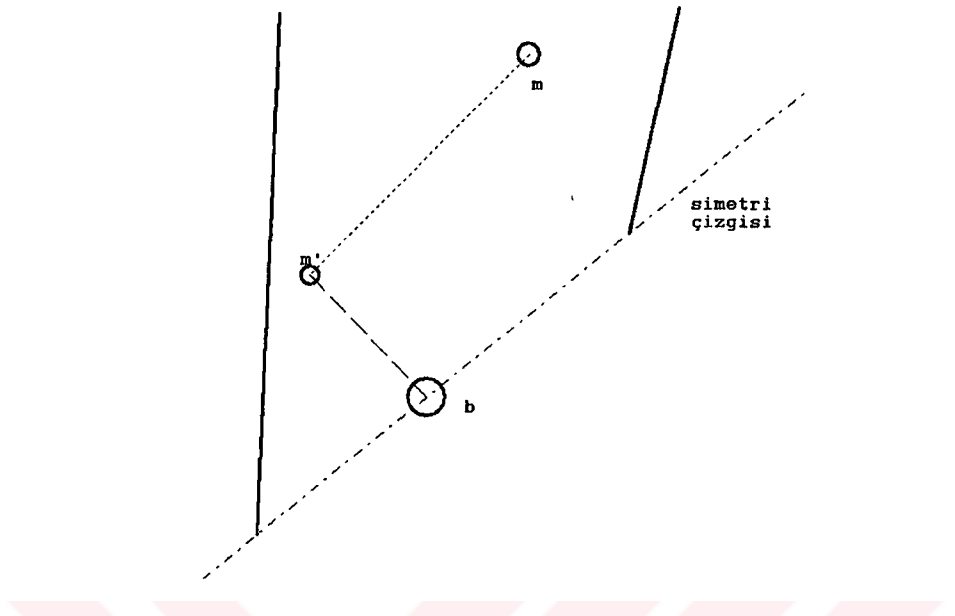
Çıkış sınır koşulunda ise sınırlardaki bağımlı değişkenler komşu kontrol hacimlerinden extrapolasyon yolu ile 4.37, 4.36 ve 4.39 denklemleri kullanılarak hesaplanır.

$$u_b = u_m + \text{grad}(u)_m \cdot (\mathbf{r}_b - \mathbf{r}_m) \quad (4.37)$$

$$v_b = v_m + \text{grad}(v)_m \cdot (\mathbf{r}_b - \mathbf{r}_m) \quad (4.38)$$

$$p_b = p_m + \text{grad}(p)_m \cdot (\mathbf{r}_b - \mathbf{r}_m) \quad (4.39)$$

#### 4.5.4 Simetri Sınır Koşulu



Şekil 4.2: Simetri yüzeyine komşu olan kontrol hacmi.

Simetri sınır koşulunda diğer sınır koşullarından farklı olarak simetri eksenine teğet olan hız bileşenin simetri eksenine göre değişimi ve simetri eksenine normal doğrultuda olan hız bileşeni sıfırdır. Bu durumda birinci derece yaklaşımla simetri eksenin üzerindeki hız bileşenleri 4.40 ve 4.41 denklemleri kullanılarak hesaplanır.

$$u_b = \frac{n_y(t_x u_{m'} + t_y v_{m'})}{n_y t_x - n_x t_y} \quad (4.40)$$

$$v_b = \frac{n_x(t_x u_{m'} + t_y v_{m'})}{n_x t_y - n_y t_x} \quad (4.41)$$

Basıncın simetri eksenine normal doğrultudaki değişimi de sıfırdır. simetri ekseninde basıncın değeri 4.42 denklemi ile hesaplanır.

$$p_b = p_{m'} \quad (4.42)$$

#### 4.5.5 Duvar Sınır Koşulu

Duvar sınır koşulu bir farkla giriş sınır koşulu ile aynı özelliklerini göstermektedir. Bilindiği üzere duvar üzerinde hızlar sıfırdır. Yani

$$u_b = 0.0 \quad (4.43)$$

$$v_b = 0.0 \quad (4.44)$$

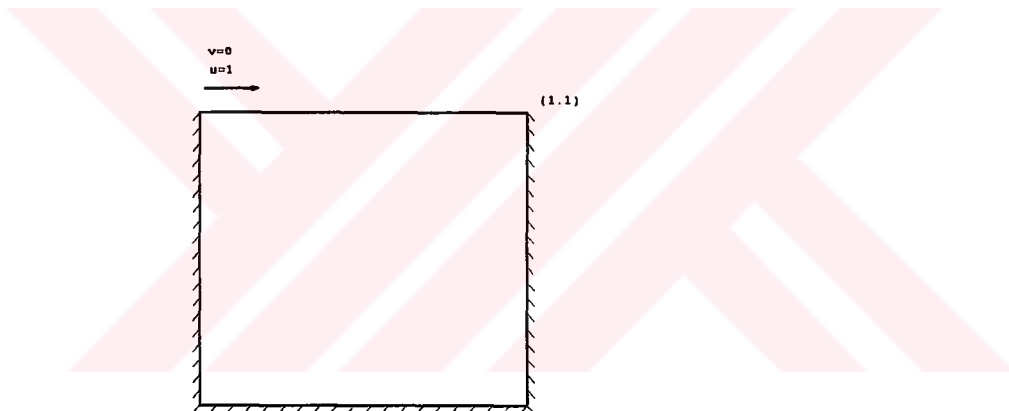
olur. Basınç ise duvar sınır koşuluna komşu kontrol hacminden 4.45 denklemi yardımı ile extrapolate edilir.

$$p_b = p_m + \text{grad}(p)_m \cdot (\mathbf{r}_b - \mathbf{r}_m) \quad (4.45)$$

## BÖLÜM 5

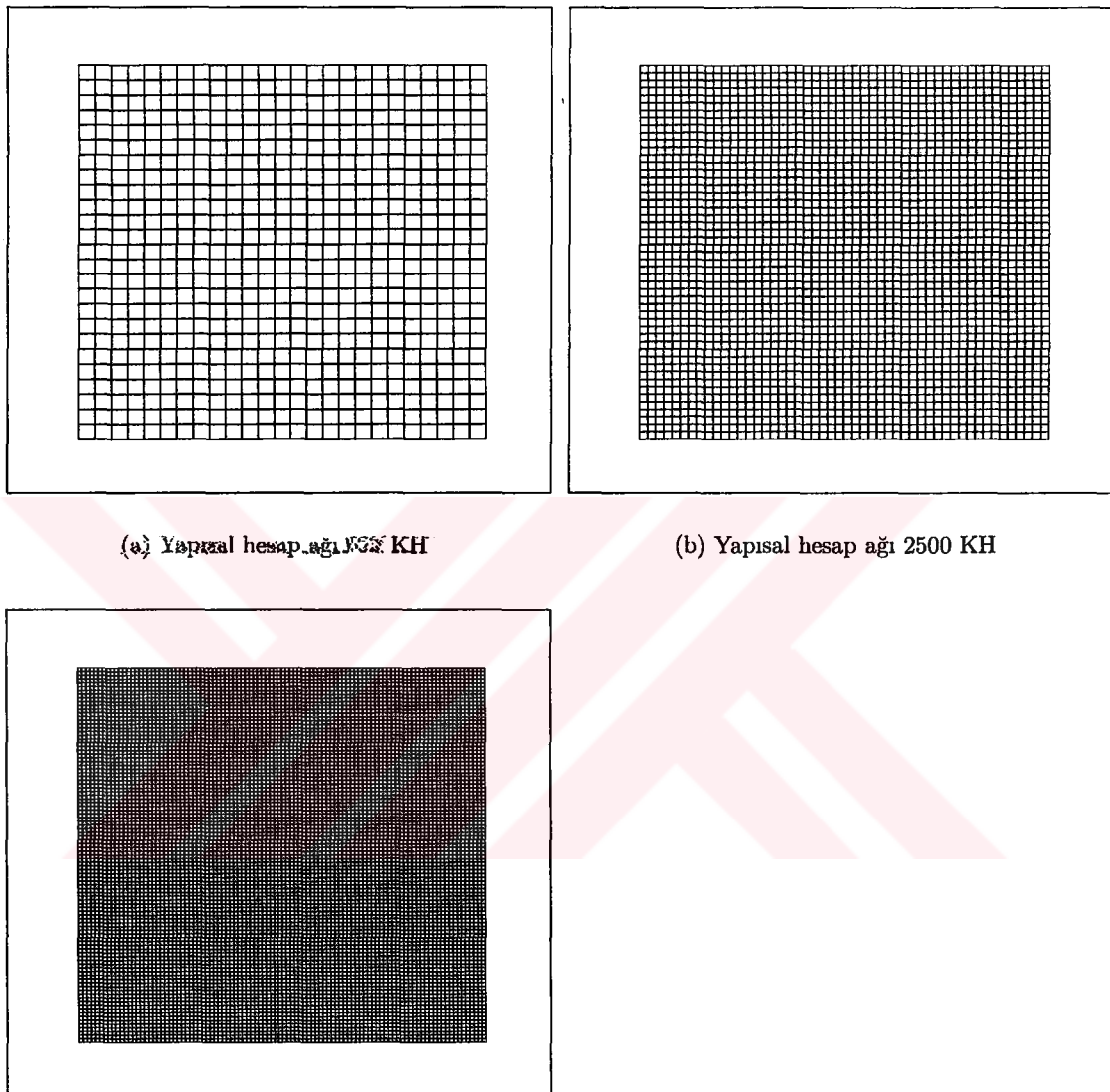
### AĞIZ TARAFINDAN SÜRÜLEN BOŞLUKTA AKIŞ

Ağız tarafından sürülen boşlukta akış problemi akış problemlerinin bir çok özelliğini bir arada bulundurması ve bu problemin araştırmacılar tarafından iyi bilinmesi nedeni ile bir çok araştırmacı tarafından test problemi olarak kullanılmaktadır. Bu nedenle bu çalışmada birinci test problemi olarak ağız tarafından sürülen boşlukta akış problemi incelenecektir. Elde edilen sonuçlar Ghia ve arkadaşları [24] tarafından Sonlu Elemanlar Yöntemi ve akım fonksiyonu-girdap denklemleri kullanılarak (129x129) kenarlara doğru sıklaştırılmış hesap ağı ile elde edilmiş sonuçlar ile karşılaştırılacaktır.

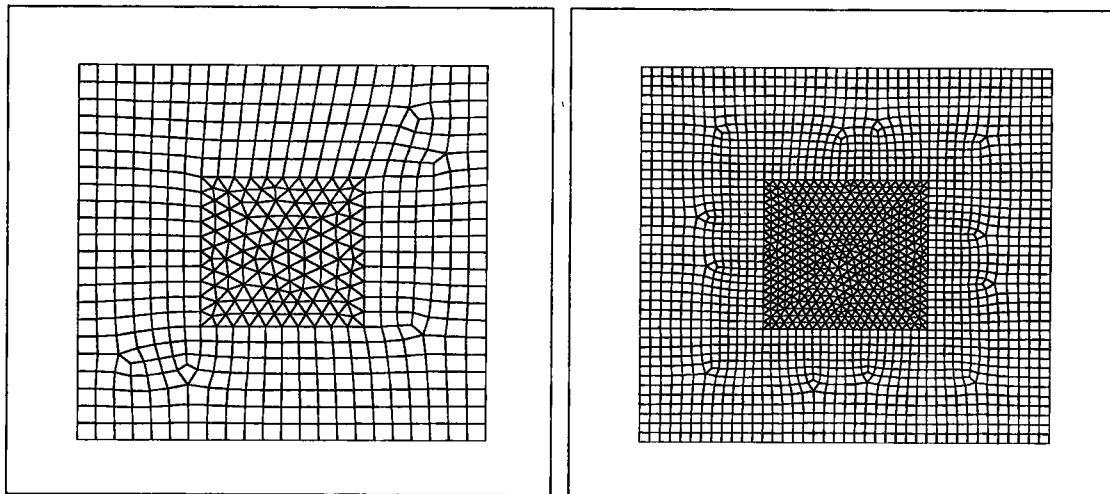


Şekil 5.1: Ağız tarafından sürülen boşlukta akış problemi.

Problem  $Re = 100$  ve  $Re = 1000$  de birinci derece yukarı farklar, ikinci derece yukarı farklar ve merkezi farklar yöntemleri kullanılarak çözülmüştür. Problemin çözümü sırasında üç tane yapısal üç tane yapısal olmayan hesap ağı kullanılmış, bu hesap ağlarındaki kontrol hacimlerinin yaklaşık olarak aynı olmasına dikkate edilmiştir. Problemin çözümü sırasında kullanılan yapısal hesap ağları 5.2 de, yapısal olmayan hesap ağları ise 5.3 de gösterilmiştir.

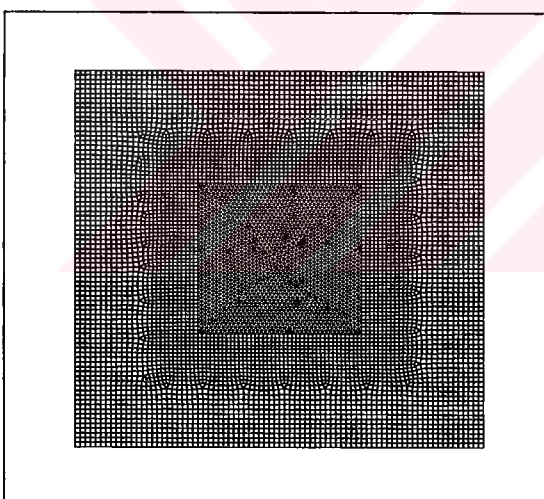


Şekil 5.2: Ağız tarafından sürülen boşlukta akış probleminin çözümünde kullanılan yapışal hesap ağları .



(a) Yapısal olmayan hesap ağı 661.KH

(b) Yapısal olmayan hesap ağı 2462 KH

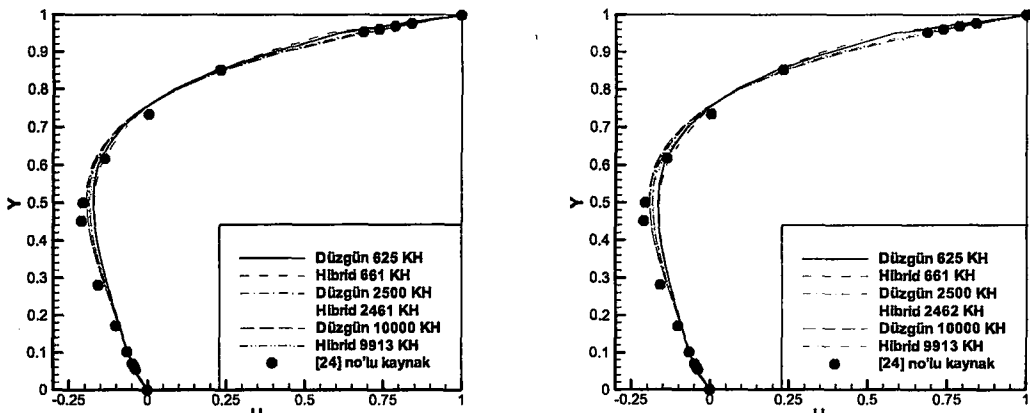


(c) Yapısal hesap ağı 9913 KH

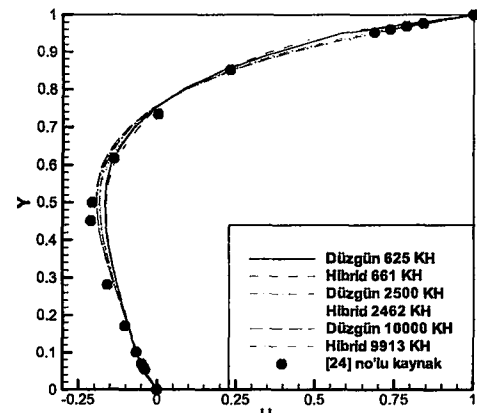
Şekil 5.3: Ağız tarafından sürülen boşlukta akış probleminin çözümünde kullanılan yapısal olmayan jhesap ağları .

Yapılan hesaplamlarda  $Re = 100$  iken  $x = 0.5$  doğrusu boyunca  $u$  hızının değişimi için Şekil 5.4 'de de görüldüğü üzere bütün yöntemlerde ve bütün hesap ağlarında [24] no'lu kaynağın bulunduğu sonuçlara çok yakın sonuçlar elde edilmiştir. Merkezi farklar yöntemi kullanılarak yapılan hesaplamlarda yapısal olmayan ve yapısal hesap ağları kullanılarak elde edilen sonuçlar arasındaki fark çok azdır. Birinci derece yukarı farklar ve ikinci derece yukarı farklar yöntemi ile elde edilen sonuçlarda yapısal ve yapısal olmayan hesap ağlarındaki fark merkezi farklar yöntemine göre fazla olmakla birlikte kabul edilebilir seviyededir. Özellikle çözüm alanı içerisindeki kontrol hacmi sayısı arttıkça yapısal ve yapısal olayan hesap ağları arasındaki farkın azlığı tespit edilmiştir.

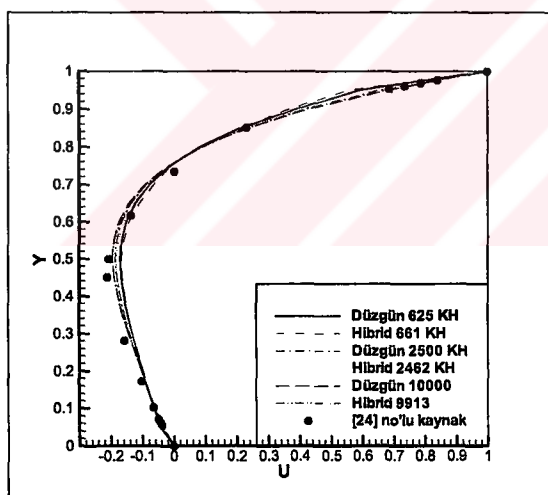
Benzer şekilde  $Re = 100$  iken  $y = 0.5$  boyunca  $v$  hızının değişimi merkezi farklar, birinci derece yukarı farklar ve ikinci derece yukarı farklar metodu için incelenmiştir. Şekil 5.5 'de de görülebileceği gibi 3 çözüm yöntemi arasında belirgin bir fark görülmemektedir. Diğer taraftan hiç bir çözüm yönteminde [24] no'lu kaynak tarafından belirtilen  $x = 0.8$  noktasındaki ekstremum noktasına ulaşlamamıştır.  $x = 0.75$  ile  $x = 1.0$  arasında bulunan bölgede yapısal 625 KH ve yapısal olmayan 661 KH ile yapılan hesaplamların arasındaki farkın belirgin olduğu ve yapısal hesap ağı ile elde edilen sonuçların [24] no'lu kaynakta belirtilen sonuçlara daha yakın olduğu tespit edilmiş, ancak kontrol hacmi sayısı arttıkça bu farkın azlığı görülmüştür.



(a) Merkezi Farklar Yöntemi

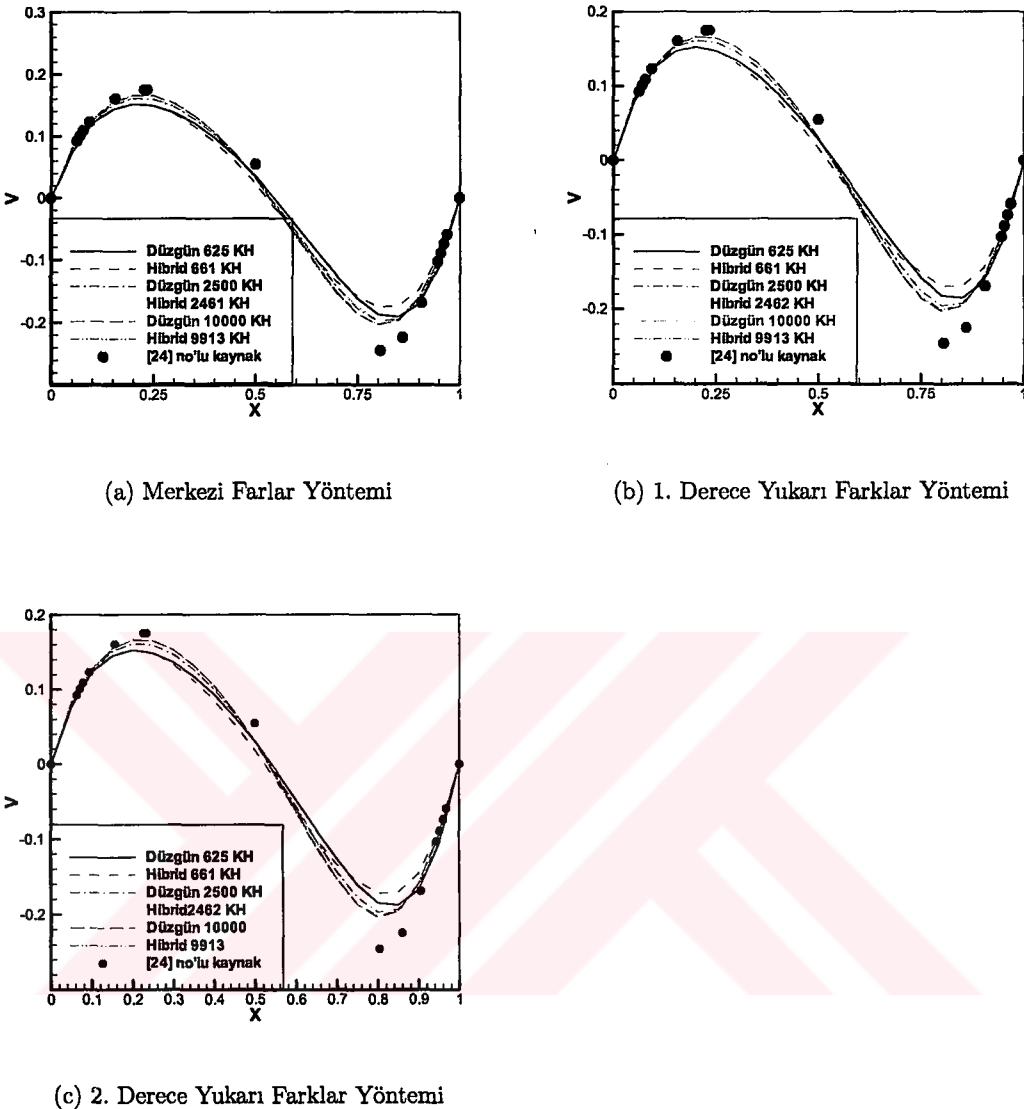


(b) 1. Derece Yukarı Farklar Yöntemi



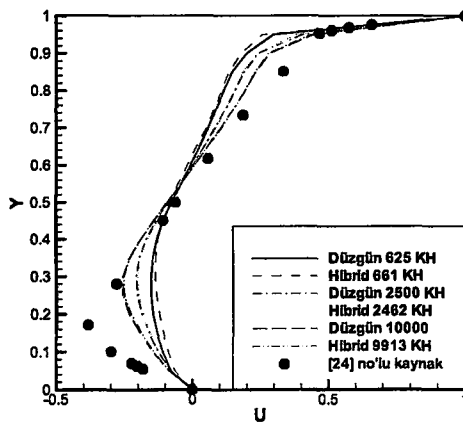
(c) 2. Derece Yukarı Farklar Yöntemi

Şekil 5.4:  $Re=100$  iken  $x = 0.5$  doğrusu boyunca  $u$  hız profiliinin değişimi.

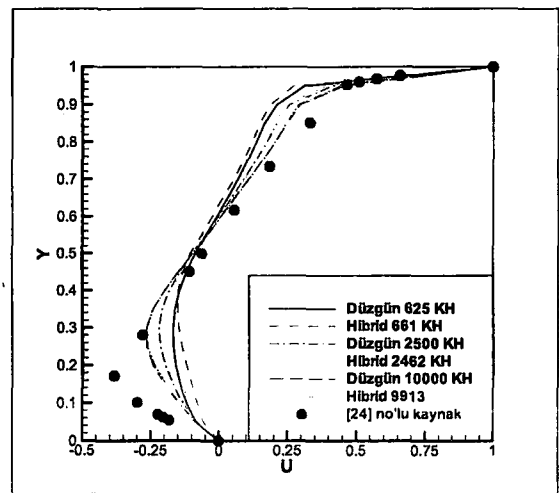


Şekil 5.5:  $Re=100$  iken  $y = 0.5$  doğrusu boyunca  $v$  hız profilinin değişimi.

$Re = 1000$  iken yapılan hesaplamalarda merkezi farklar yöntemi ile yapılan hesaplamalar yakınsamamıştır. Şekil 5.6 de de görüldüğü gibi birinci derece yukarı farklar ve ikinci derece farklar yöntemleri kullanılarak yapılan hesaplamalarda  $y = 0.1$  ile  $y = 0.2$  arasında [24] no'lu kaynağın hesaplamış olduğu ekstremum noktası tespit edilememiştir. Hesaplamalar sonucu o bölgede hız profilindeki değişimin [24] no'lu kaynağın bulgularına göre daha düşük olduğu tespit edilmiştir. Ayrıca hesap ağlarındaki kontrol hacmi sayısı



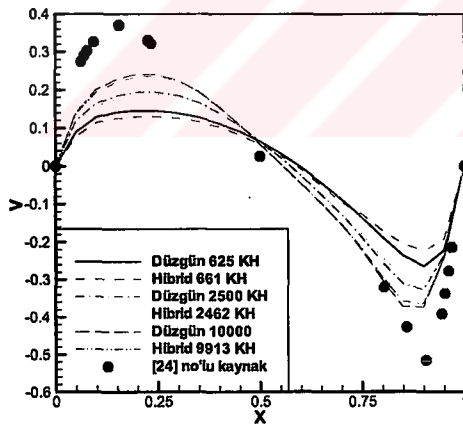
(a) 1. Derece Yukarı Farklar Yöntemi



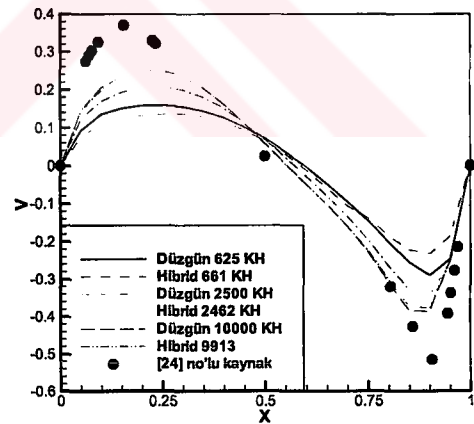
(b) 2. Derece Yukarı Farklar Yöntemi

Şekil 5.6:  $Re=1000$  iken  $x = 0.5$  doğrusu boyunca  $u$  hız profilinin değişimi.

arttıkça yapışal ve yapışal olmayan hesap ağıları ile elde edilen sonuçların giderek birbirine yaklaşığı görülmüştür.



(a) 1. Derece Yukarı Farklar Yöntemi

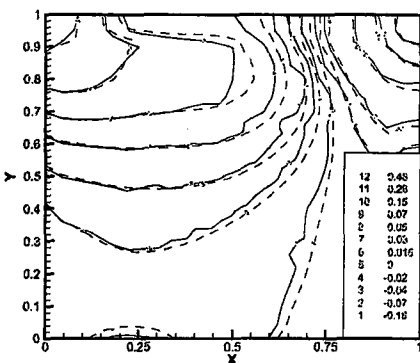


(b) 2. Derece Yukarı Farklar Yöntemi

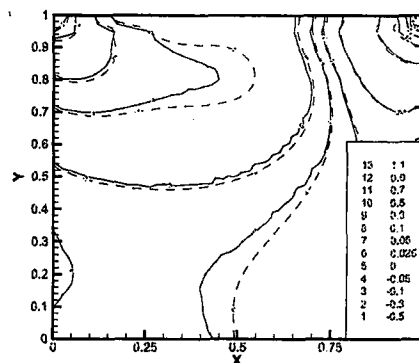
Şekil 5.7:  $Re=1000$  iken  $y = 0.5$  doğrusu boyunca  $v$  hız profilinin değişimi.

$Re = 1000$  de  $y = 0.5$  doğrusu boyunca  $v$  hızındaki değişim incelendiğinde yine [24] no'lu kaynakta belirtilen ve  $x = 0.15$  ve  $x = 0.9$  noktalarındaki

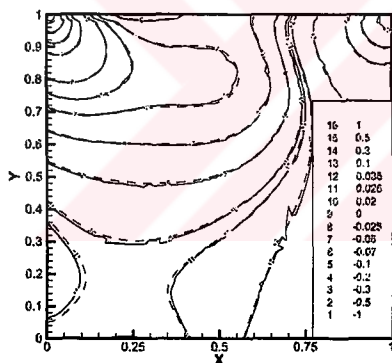
ekstreum noktalarının yapılan hesaplamalar sonucu tepe noktaları kesik olarak tespit edilmiştir. Diğer taraftan yapısal ve yapısal olmayan hesap ağlarında elde edilen sonuçların kontrol hacmi sayısı arttıkça birbirine yaklaştığı görülmüştür.



(a) 661 KH ve 625 KH hesap ağları



(b) 2462 KH ve 2500 KH hesap ağları

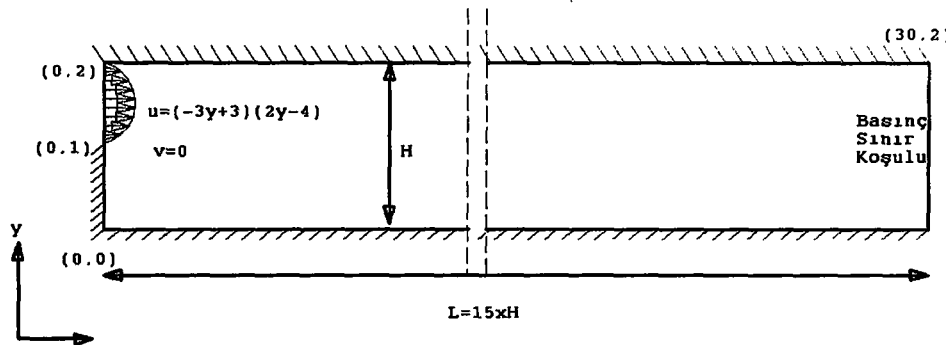


(c) 9913 ve 10000 KH hesap ağları

Şekil 5.8:  $Re=100$  iken 2. derece yukarı farklar yöntemi ile yapılan hesaplamalarda ki basınç konturları:—: yapısal olmayan hesap ağı, - - -: yapısal hesap ağı.

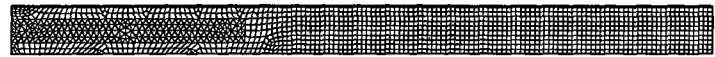
## BÖLÜM 6

### ANI GENİŞLEYEN KANALDA AKIŞ



Şekil 6.1: Ani genişleyen kanalda akış problemi.

Ani genişleyen kanalda akış problemi akış özelliklerinin iyi bilinmesi ve momentum taşınınının etkin rol oynaması nedeniyle sayısal akışkanlar mekaniği araştırmacıları tarafından sıkça kullanılan bir test problemidir. Bu nedenle bu çalışmada diğer araştırmacılar gibi ani genişleyen akış problemi test problemi olarak kullanılmıştır. Problemin çözümünde Şekil 6.2'de görülen yapısal ve yapısal olmayan hesap ağları kullanılmıştır. Karşılaştırma yapabilmek amacı ile yapısal ve yapısal olmayan hesap ağlarının kontrol hacim sayılarının yaklaşık aynı olacak şekilde oluşturulmuştur. Taşının terimlerinin ayıklaştırılmasında ise birinci derece yukarı farklar, ikinci derece yukarı farklar ve ikinci derece yukarı farklar yöntemleri kullanılmıştır. Bütün değişkenler için bağıl hatanın aritmetik ortalamasının  $10^{-5}$ 'den küçük olması durumunda çözümün yakınsadığı kabul edilmiştir. Problemde sınır şartları Şekil 6.1'de gösterildiği gibi uygulanmıştır.



(a) 1540 KH hesap ağacı



(b) 1500 KH hesap ağacı



(c) 6224 KH hesap ağacı



(d) 6000 KH hesap ağacı



(e) 23304 KH hesap ağacı

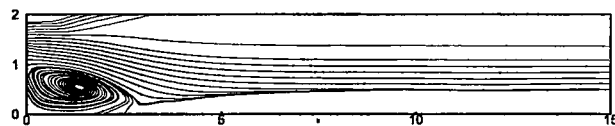


(f) 24000 KH hesap ağacı

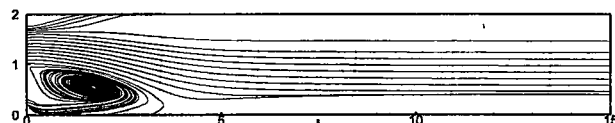
Şekil 6.2: Anı genişleyen kanalda akış problemini çözmek için kullanılan hesap ağları.

Anı genişleyen kanalda akış probleminde akışta basamağın hemen yanında oluşan vorteks ve bunu karşılaştırmak amacı ile vorteksin birleşme noktası temel özellik olarak karşımıza çıkmaktadır.  $Re = 200$  iken birinci derece yukarı farklar yöntemi ile yapılan hesaplamalarda Tablo 6.1' de görüldüğü gibi [27] no'lu kaynakta  $Re = 200$ 'de ölçülmüş olan birleşme noktası değeri  $X = 5.29411$  yaklaşmakla birlikte en çok kontrol hacmine sahip olan 23304 KH'li yapısal hesap ağı ve 24000 KH yapısal hesap ağı ile yapılan hesaplamalarda deneysel yöntemlerle tespit edilmiş olan birleşme noktasından %3 oranında daha girişe yakın olduğu tespit edilmiştir. Ayrıca 1540 KH ile yapısal olmayan çözüm ağında hesaplanmış olan değer ile 1500 KH ile yapısal hesap ağında hesaplanmış olan birleşme noktası değeri arasında %28 oranında fark var iken bu fark 23304 KH ile yapısal olmayan hesap ağı ile 24000 KH kullanılarak yapısal hesap ağı ile yapılan çözümlemelerde %6'ya düşmektedir. Ayrıca Şekil 6.3'de görüldüğü gibi 1540 KH yapısal olmayan ve 1500 KH yapısal hesap ağıları ile yapılan hesaplamalarda giriş bölgesinde akım çizgilerinde düzensizlik tespit edilmiştir. Ancak bu düzensizlikler hesap ağındaki kontrol hacmi sayısını arttırmakta kaybolmaktadır.

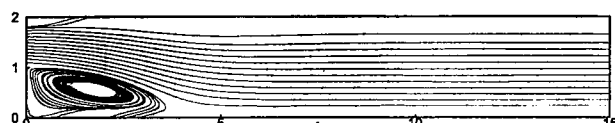
$Re = 400$  iken birinci derece yukarı farklar yöntemi ile yapılan hesaplamalarda birleşme noktasının yapısal olmayan hesap ağı ile yapısal hesap ağı arasındaki farkının %27 ile %16 arasında değiştiği tespit edilmiş ve hesap ağındaki kontrol hacmi sayısı arttıkça bu farkın azlığı tespit edilmiştir.[27] no'lu kaynak tarafından tespit edilmiş olan birleşme noktası değeri  $X = 8.2353$  değerinden sapma ise 23304 KH ile yapısal olmayan hesap ağında yapılan hesaplamada %23, 24000 KH yapısal hesap ağı ile yapılan hesaplamada ise %6 olduğu tespit edilmiştir.Şekil6.4  $Re = 400$  iken yapılan hesaplamalarda elde edilmiş olan akım çizgileri görülmektedir.  $Re = 200$  iken yapılan hesaplamalarda görülmüş olan duvara yakın bölgelerde akış yönündeki düzensizlikler burada da görülmektedir.



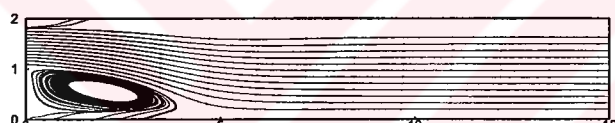
(a) 1540 KH hesap ağı



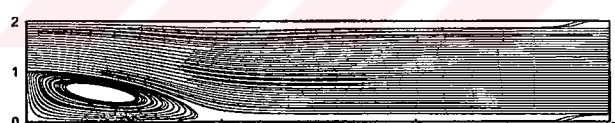
(b) 1500 KH hesap ağı



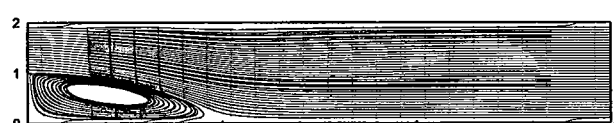
(c) 6224 KH hesap ağı



(d) 6000 KH hesap ağı

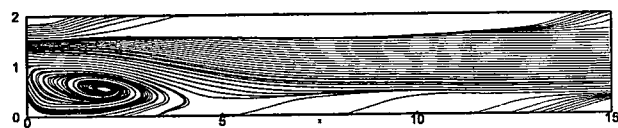


(e) 23304 KH hesap ağı

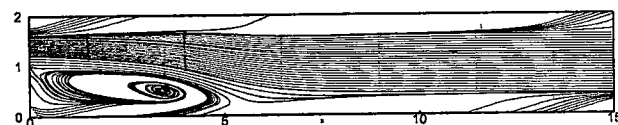


(f) 24000 KH hesap ağı

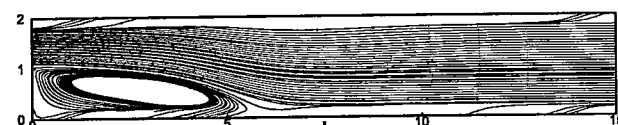
Şekil 6.3: Ani genişleyen kanalda akış probleminde  $Re=200$  iken 1. derece yukarıı farklar yöntemi ile yapılan hesaplamada akım çizgileri.



(a) 1540 KH hesap ağı



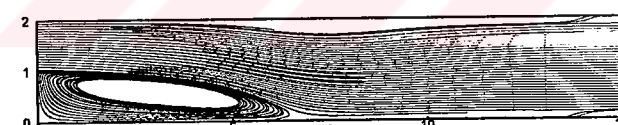
(b) 1500 KH hesap ağı



(c) 6224 KH hesap ağı



(d) 6000 KH hesap ağı



(e) 23304 KH hesap ağı



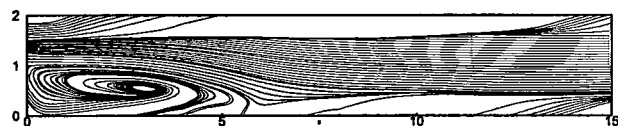
(f) 24000 KH hesap ağı

Şekil 6.4: Ani genişleyen kanalda akış probleminde  $Re=400$  iken 1. derece yukarıı farklar yöntemi ile yapılan hesaplamada akım çizgileri.

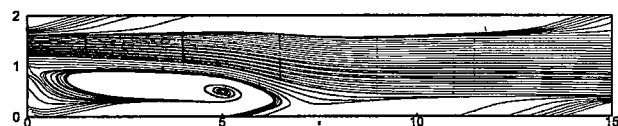
$Re = 600$  iken, birinci derece yukarı farklar yöntemi ile yapılan düşük Reynolds sayılarında yapılan hesaplamalarda olduğu gibi en düşük kontrol hacmine sahip hesap ağlarından en yüksek kontrol hacmine sahip hesap ağlarına gidildikçe, yapısal ve yapısal olmayan hesap ağları arasındaki farkın azaldığı ancak bu azalmanın düşük Reynolds sayılarında yapılan hesap ağlarındaki kadar çok olmadığı görülmüştür. En düşük kontrol hacmine sahip yapısal ve yapısal olmayan hesap ağlarında birleşme noktası değerleri arasındaki fark %24 iken bu fark en çok kontrol hacmine sahip hesap ağları için %25 olarak tespit edilmiştir. [27] no'lu kaynakta tespit edilmiş olan birleşme noktası değeri  $X = 12,3530'$ den sapma ise en çok kontrol hacmine sahip olan yapısal ve yapısal olmayan hesap ağlarında sıra ile %27 ve %55 olarak tespit edilmiştir. Diğer taraftan Barton [28], Armaly ve arkadaşları[27] tarafından  $Re = 600$  iken yapılan deney sonucu elde edilen birleşme noktası değerinin aksın bu Reynolds sayısında üç boyutlu olması nedeni ile birleşme noktası değerinin yüksek olduğunu belirtmiştir. Barton [28]  $Re = 600$  için birleşme noktası değerini  $X = 10.67$  olarak tespit etmiştir. En çok kontrol hacmine sahip hesap ağlarında bu değerden sapma ise yapısal ve yapısal olmayan hesap ağı için sırası ile %10 ve %34 olarak tespit edilmiştir.

Tablo 6.1: 1. derece yukarı farklar yöntemi ile yapılan hesaplamalarda alt duvardaki birleşme noktası.

	Hibrid 1540 KH	Yapısal 1500 KH	Hibrid 6224 KH	Yapısal 6000 KH	Hibrid 23304 KH	Yapısal 24000 KH	Armaly ve arkadaşları[27]
$Re = 200$	2,79612	3,59098	3,82071	4,40555	4,5636	4,84558	5,29411
$Re = 400$	4,39488	5,56376	5,68203	7,08486	6,68268	7,74849	8,2353
$Re = 600$	5,78198	7,1659	7,21085	8,9549	7,96232	9,71366	12,353



(a) 1540 KH hesap ağı



(b) 1500 KH hesap ağı



(c) 6224 KH hesap ağı



(d) 6000 KH hesap ağı

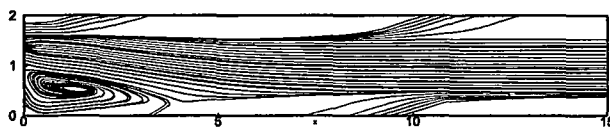


(e) 23304 KH hesap ağı

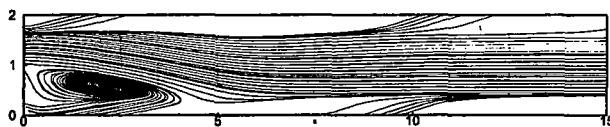


(f) 24000 KH hesap ağı

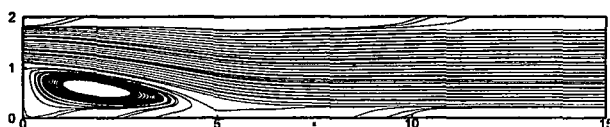
Şekil 6.5: Ani genişleyen kanalda akış probleminde  $Re=600$  iken 1. derece yukarıı farklar yöntemi ile yapılan hesaplama akım çizgileri.



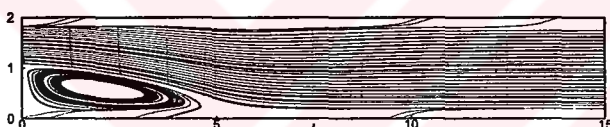
(a) 1540 KH hesap ağı



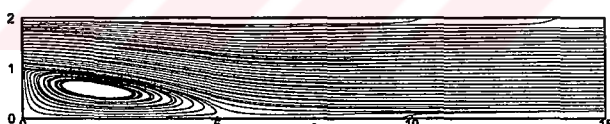
(b) 1500 KH hesap ağı



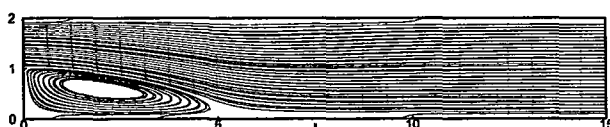
(c) 6224 KH hesap ağı



(d) 6000 KH hesap ağı



(e) 23304 KH hesap ağı

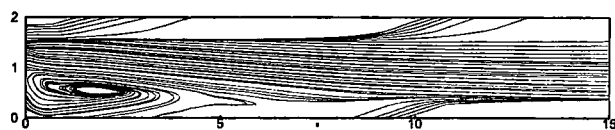


(f) 24000 KH hesap ağı

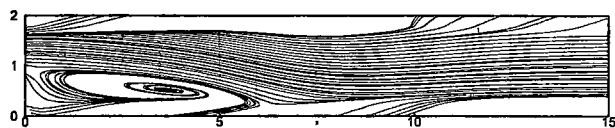
Şekil 6.6: Ani genişleyen kanalda akış probleminde  $Re=200$  iken 2. derece yukarı farklar yöntemi ile yapılan hesaplama akım çizgileri.

$Re = 200$  iken ikinci derece yukarı farklar yöntemi ile yapılan hesaplamalarda yapısal ve yapısal olmayan hesap ağları arasındaki farkın düşük olduğu tespit edilmiştir. 1500 ve 1540 kontrol hacmine sahip yapısal ve yapısal olmayan hesap ağları arasındaki fark %18 iken en kontrol hacim sayısına sahip 23304 kontrol hacimli yapısal olmayan ve 24000 kontrol hacimli yapısal hesap ağları ile yapılan hesaplamalarda ise fark %1 olarak tespit edilmiştir. Benzer şekilde Armaly ve arkadaşları[27] tarafından tespit edilen değerden sapma miktarı en düşük kontrol hacim sayısına sahip yapısal ve yapısal olmayan hesap ağlarında sırası ile %31 ve %12 olarak tespit edilmiş, bu sapma değeri ise 23304 KH'li yapısal olmayan hesap ağında  $\%6 \cdot 10^{-3}$  ve 24000 KH'li yapısal hesap ağında ise %1.5 olarak tespit edilmiştir.

İkinci derece yukarı farklar yöntemi ile  $Re = 400$  iken yapılan hesaplamalarda yapısal ve yapısal olmayan hesap ağları kullanılarak yapılan hesaplamalardan elde edilen sonuçlar arasındaki farkın düşük olduğu Tablo 6.2'den görülmektedir. 1540 KH'li yapısal olmayan hesap ağı ile 1500 KH'li yapısal hesap ağı arasındaki fark %11 iken, 23304 KH'li yapısal olmayan hesap ağı ile 24000 KH'li yapısal hesap ağı arasındaki fark %8 olduğu tespit edilmiştir. Diğer taraftan Armaly ve arkadaşları [27] tarafından elde edilen sonuç ile karşılaştırıldığı zaman sapma oranı en yüksek kontrol hacmi sayısına sahip 23304 KH'li yapısal olmayan ve 24000 KH'li yapısal hesap ağında sırası ile %10 ve %2 olarak tespit edilmiştir.



(a) 1540 KH hesap ağı



(b) 1500 KH hesap ağı



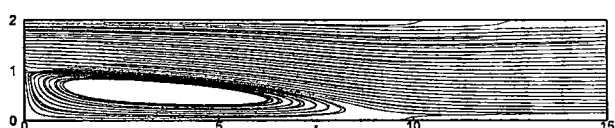
(c) 6224 KH hesap ağı



(d) 6000 KH hesap ağı

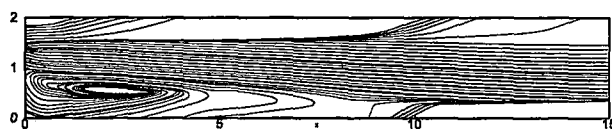


(e) 23304 KH hesap ağı

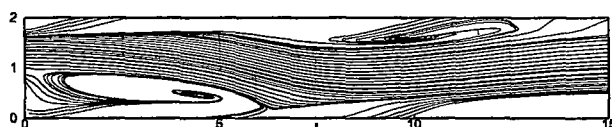


(f) 24000 KH hesap ağı

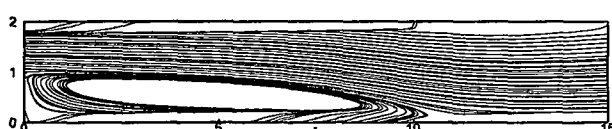
Şekil 6.7: Ani genişleyen kanalda akış probleminde  $Re=400$  iken 2. derece yukarı farklar yöntemi ile yapılan hesaplamada akım çizgileri.



(a) 1540 KH hesap ağı



(b) 1500 KH hesap ağı



(c) 6224 KH hesap ağı



(d) 6000 KH hesap ağı

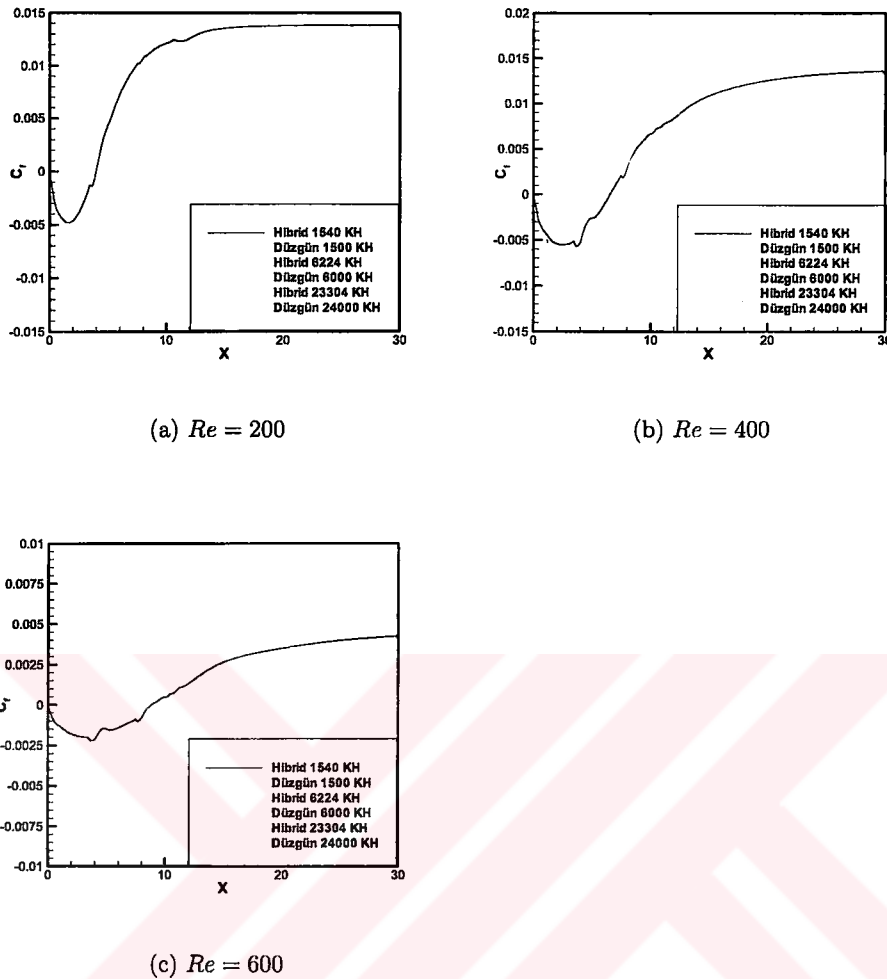


(e) 23304 KH hesap ağı



(f) 24000 KH hesap ağı

Şekil 6.8: Ani genişleyen kanalda akış probleminde  $Re=600$  iken 2. derece yukarı farklar yöntemi ile yapılan hesaplamada akım çizgileri.



Şekil 6.9: Anı genişleyen kanalda akış probleminde 2. derece yukarı farklar yöntemi ile yapılan hesaplamalarda alt duvarda yüzey sürtünme katsayısının değişimi.

$Re = 600$  iken ikinci derece yukarı farklar yöntemi ile yapılan hesaplamalarda 1500 ve 1540 KH'li yapısal ve yapısal olmayan hesap ağları ile elde edilen sonuçlar arasındaki farkın %27 olduğu görülmüştür. Bu fark 24000 ve 23304 KH'li yapısal ve yapısal olmayan hesap ağlarında elde edilen birleşme noktası mesafesinde %15 olduğu tespit edilmiştir. Diğer taraftan en çok kontrol hacmine sahip hesap ağlarındaki sonuçlar Barton [28] ve Armaly ve arkadaşları[27] tarafından elde edilen sonuçlarla karşılaştırıldığı zaman yapısal olmayan hesap ağlarında elde edilen sonuçların Armaly ve

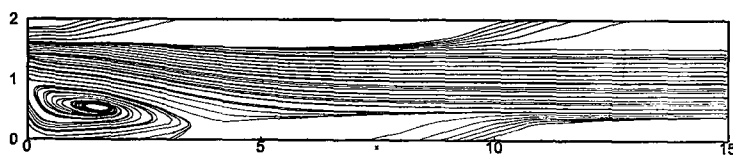
arkaşları[27] tarafından elde edilen sonuçlara, Barton [28] tarafından elde edilen sonuçlara daha yakın olduğu görülmektedir.

Tablo 6.2: 2. derece yukarı farklar yöntemi ile yapılan hesaplamalarda alt duvardaki birleşme noktası.

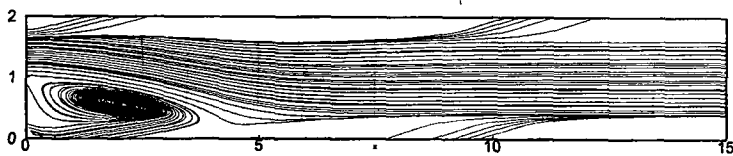
	Hibrid 1540 KH	Yapısal 1500 KH	Hibrid 6224 KH	Yapısal 6000 KH	Hibrid 23304 KH	Yapısal 24000 KH	Armaly ve arkadaşları[27]
$Re = 200$	4,01586	4,7199	4,89911	5,16115	5,29442	5,22261	5,29411
$Re = 400$	5,7464	6,35761	8,29235	8,0893	9,10832	8,41126	8,2353
$Re = 600$	8,79714	6,39644	10,5145	9,69424	12,2997	10,4558	12,353

Şekil 6.9'da ikinci derece yukarı farklar yöntemi kullanılarak, değişik hesap ağları ile yapılan çözümlemelerde kanalın alt duvarındaki yüzey sürtünme sayısı görülmektedir. Buradanda görüleceği gibi düşük Reynolds sayılarında yapısal ve yapısal olmayan hesap ağlarının birbirlerine yakın sonuçlar verdiği Reynolds sayısı arttıkça sonuçların giderek farklılaştığı görülmektedir.

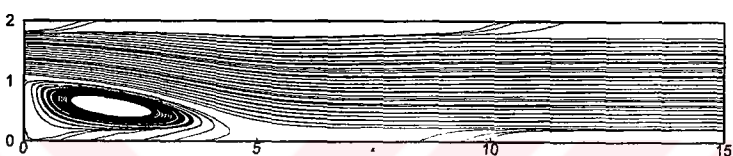
Sınırlayıcı uygulanmış ikinci derece yukarı farklar yöntemi ile yapılan hesaplamalarda ise (Şekil 6.10, Şekil 6.11) 2. derece yukarı farklar yöntemi ile elde edilen sonuçlar ile karşılaştırıldıklarında belirgin bir fark görülmemektedir. Ancak Şekil 6.12 incelendiğinde sınırlayıcı kullanıldığı zaman süreklilik denkleminin kalanının belirli bir değerin altına düşmediği, hatta yapısal olmayan hesap ağlarında bu değerin çok yükseli olduğu görülmektedir.



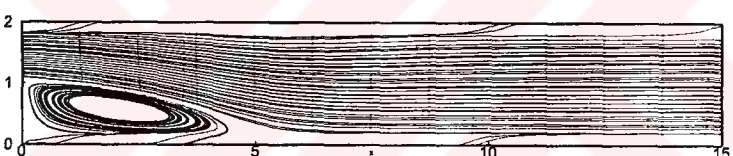
(a) 1549 KH həsəp ağı



(b) 1508 KH həsəp ağı

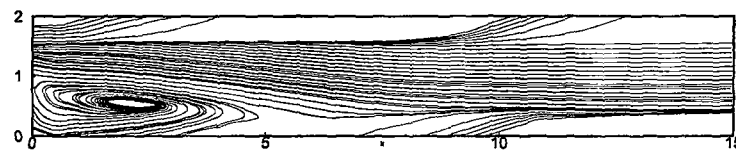


(c) 3222 KH həsəp ağı

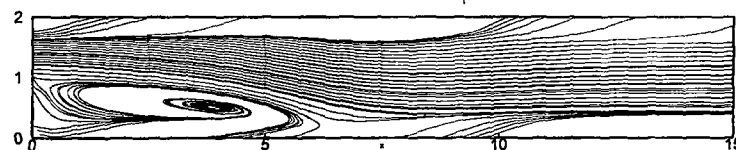


(d) 6098 KH həsəp ağı

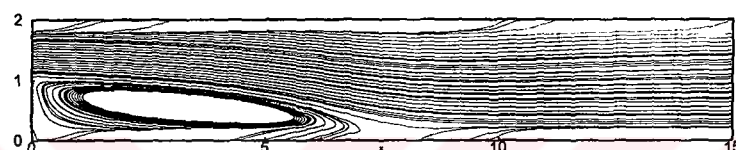
Şekil 6.10: Ani genişleyen kanalda akış problemində  $Re=200$  iken mütləqər uyğulamış 2. dövər yukarı farkları yötəni ilə yapan hesablamada akım gölgələri.



(a) 1540 KH hesap ağı



(b) 1500 KH hesap ağı

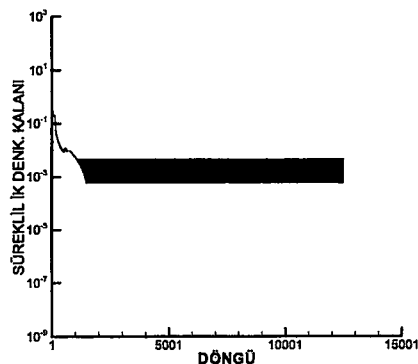


(c) 1622 KH hesap ağı

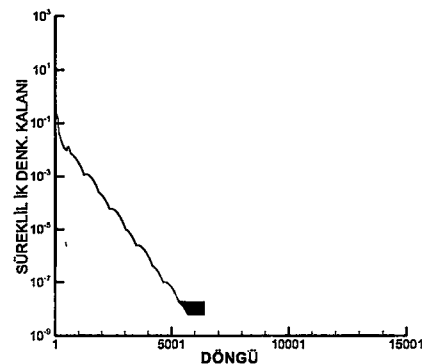


(d) 5000 KH hesap ağı

**Şekil 6.11:** Anı genişleyen kanalda akış probleminde  $Re=400$  iken sunulan 4 farklı 2. derecedeki yükselti farkları yöntemi ile yapılan hesaplama da akın çagları.



(a) 6224 KH hesap ağı



(b) 6000 KH hesap ağı

Şekil 6.12: Ani genişleyen kanalda akış probleminde  $Re=400$  iken 2. derece yukarı farklar yöntemi ile sınırlayıcı uygulanmış 2. derece yukarı farklar yöntemi sonucu elde edilen süreklilik denkleminin kalanı; - - - : 2. derece yukarı farklar yöntemi, — : Sınırlayıcı uygulanmış 2. derece yukarı farklar yöntemi.

Tablo 6.3:  $Re = 600$  iken mevcut çalışmada bulunan birleşme noktası değerinin diğer çalışmalar ile karşılaştırılması.

	Birleşme Noktası Değeri
Mevcut Çalışma <sup>a</sup>	12,2997
Mevcut Çalışma <sup>b</sup>	10,4558
Armaly ve arkadaşları[27]	12,353
Barton[28]	10,67

"2. derece yukarı farklar yöntemi ile 23304 KH sahip olan yapışsal olmayan hesap ağı ile elde edilmiştir.

<sup>b</sup>2. derece yukarı farklar yöntemi ile 24000 KH sahip olan yapısal hesap ağı ile elde edilmiştir.

## BÖLÜM 7

### SONUÇ

Bu çalışma kapsamında incelenen yapısal olmayan hesap ağları ile yapılan testler sonucu gerek taşınım-yayınım probleminin çözümü, gerekse ağız tarafından sürülen boşlukta akış problemi ve ani genişleyen akış probleminde olsun sınırlarda hatanın hesap alanı içerisinde göre yüksek olduğu görülmektedir. Sınır koşullarının uygulanması çözümü önemli ölçüde etkilemektedir. Bu nedenle daha uygun sınır koşullarının uygulanması gerekmektedir. Ayrıca ayrıklaştırmanın temel olarak sonlu farklar yöntemi ile yapılmış olması ve bir çok yerde ikinci derece Taylor serisi açınızı kullanılması, basınç eş egrilerindende görülebileceği gibi sayısal dağılma hatasını artırmaktadır. Ayrıca temel olarak ayrıklaşdırında sonlu farklar yönteminin kullanılması özellikle dik olmayan hesap ağlarında özellikle yayının terimlerinin birinci derece hassasiyete sahip olmasına neden olmaktadır. Bu nedenle polinom interpolasyonu kullanmak gerek yayının terimlerinin kontrol hacmi sınırlarında daha yüksek dereceden hesaplanması sağlama gerekse sınırlarda ayrıklaştmayı kolaylaştırması nedeni ile önemli avantajlar sağlayabilir.

Yapılan çalışmalarda sonucun hesap ağının yapısına çok bağımlı olduğu ortaya çıkmıştır. Yapısal olmayan hesap ağlarında, yapısal hesap ağlarında olduğu gibi belirli bir düzene sahip hesap ağı oluşturmak mümkün olmaması nedeni ile yapısal olmayan hesap ağının etkinliğini artırmak amacıyla kendini uyarlayan hesap ağı kullanılmasının daha uygun olacağı düşünülmektedir.

Taşınım terimlerinin ayrıklaştırılması sırasında test edilen ayrıklaştırma yöntemleri arasında en uygun olanın ikinci derece yukarı farklar yöntemi olduğu sonucuna varılmış, sınırlayıcının ise gerek çözümü hızlandırması açısından, gerekse yakınsamayı kolaylaştırması açısından beklenilen faydayı sağlamadığı tespit edilmiştir.

Basıncı ve hızları hesaplamak amacıyla kullanılan SIMPLE ile

yapılan hesaplamlarda literatürde daha önce yapılmış benzer çalışmalar ile mevcut çalışma arasındaki fark %40 ile %1 arasında değiştiği görülmektedir. Bu ise SIMPLE yönteminin yüksek hassasiyet gerektirmeyen endüstriyel ve bilimsel çalışmalar için yeterli olduğu, ancak yüksek teknoloji uygulamaları veya bilimsel çalışmalar için istenilen hassasiyeti sağlayamayacağı sonucunu doğurmaktadır. Sıkıştırılamaz akışlarda basıncın hesaplanması için kullanılan yöntemlerden en uygun olanların Basınç Poisson Denklemi ve yapay sıkıştırılabilirlik olduğu yapılan literatür taraması sonucu görülmektedir.

Genel olarak yapılan çalışmanın sonuçlarının özetlenirse, birçok araştırmacı tarafından kullanılan SIMPLE yönteminin bilimsel çalışmalar için uygun olmadığı görülmüştür. Ayrıca yapısal olmayan hesap ağları ile yapısal hesap ağları arasındaki farkı azaltmak amacıyla polinom interpolasyonu kullanılması uygun olacaktır. Kendini uyarlayan hesap ağı ve çoklu hesap ağı kullanılması sonuçların hesap ağına bağımlılığını azaltacak ve yakınsama zamanını düşürerek hesaplama meydana gelen düşük frekanslı hataları önemli ölçüde azaltacaktır.

## KAYNAKLAR

- [1] **Kirköprü K.**, 1998.'Viscous Flows Course Notes' *İstanbul Teknik Üniversitesi*.
- [2] **Comini G., Minkowycz W. J. ve Shyy W.**, 1997.'General Algorithms for The Finite Element Solution of Incompressible Flow Problems Using Primitive Variables', *Advances in Numerical Heat Transfer c. 1*, Editörler: *Minkowycz W. J., Sparrow E. M., Taylor & Francis*,137-169 .
- [3] **Harlow F. H. ve Welch J. E.**, 1965.'Numerical Calculation of Time-Dependent Viscous Incompressible Flow of Fluid with Free Surface' *The Physics of Fluids, C. 5*, No. **12**,2182-2189.
- [4] **Kim J. ve Moin P.**, 1985. 'Application of a Fractional-Step Method to Incompressible Navier-Stokes Equations' *Journal of Computational Physics*, No. **59**,308-323.
- [5] **Choi H. ve Moin P.**, 1994. 'Effects of the Computational Time Step on Numerical Solutions of Turbulent Flow' *Journal of Computational Physics*, No. **113**,1-4.
- [6] **Zang Y., Street R. L. ve Koseff J. R.**, 1994.'A Non-Staggered Grid, Fractional Step Method for Time-Dpendent Incompressible Naier-Stokes Equations in Curvilinear Coordinates' *Journal of Computational Physics*, No. **114**,18-33.
- [7] **Kim D. ve Choi H.**, 2000.'A Second-Order Time-Accurate Finite Volume ethod for Unsteady Incompressible Flow on Hybrid Unstructured Grids' *Journal of Computational Physics*, No. **162**,411-428.

- [8] **Chorin A. J.**, 1997. 'A Numerical Method For Solving Incompressible Viscous Flow Problems' *Journal of Computational Physics*, No. **135**, 118-125.
- [9] **Patankar S. V.**, 1980. 'Numerical Heat Transfer and Fluid Flow', *McGraw-Hill Book Company*.
- [10] **Van Doormal J. P. ve Raithby G. D.**, 1984. 'Enhancements of the SIMPLE Method for Predicting Incompressible Fluid Flows' *Numerical Heat Transfer, C.* **7**, 147-163.
- [11] **Issa R. I.**, 1986. 'Solution of Implicitly Discretized Fluid Flow Equations by Operator Splitting' *Journal of Computational Physics*, No. **62**, 40-65.
- [12] **Lien F. S.**, 2000. 'A Pressure-Based Unstructured Grid Method For All-Speed Flows ' *International Journal For Numerical Methods in Fluids*, C. **33**, 355-374.
- [13] **Ferziger J. H. ve Peric M.**, 1996. 'Computational Methods for Fluid Dynamics', *Springer-Verlag*.
- [14] **Rhie C. M. ve Chow W. L.**, 1983. 'Numerical Study of the Turbulent Flow Past an Airfoil with Trailing Edge Separataion' *AIAA Journal*, C. **21**, No. **11**, 1525-1532.
- [15] **Zoppou C., Roberts S. ve Renka R. J.**, 2000. 'Exponential Spline Interpolation in Characteristic Based Scheme For Solving Advection-Diffusion Equation' *International Journal For Numerical Methods in Fluids*, C. **33**, 429-452.
- [16] **Leonard B. P.**, 1997. 'Bounded Higher-Order Upwind Multidimensional Finite-Volume Convection-Diffusion Algorithms', *Advances in Numerical Heat Transfer c. 1*, Editörler: *Minkowycz W. J., Sparrow E. M., Taylor & Francis*, 1-57.
- [17] **Gaskell P. H. ve Lau A. K. C.**, 1988. 'Curvature-Compansated Convective Transport:SMART, a New Boundedness Preserving

Transport Algorithm' *International Journal For Numerical Methods in Fluids*, C. **8**,617-641.

- [18] **Leonard B. P. ve Niknafs H. S.**, 1991. 'Sharp Monotonic Resolution of Discontinuties Without Clipping of Narrow Extrema' *Computers & Fluids*, C. **19**, No. 1,141-154.
- [19] **Davidson L.**, 1996. 'A Pressure Correction Method For Unstructured Meshes With Arbitrary Volumes' *International Journal For Numerical Methods in Fluids*, C. **22**,265-281.
- [20] **Jasak H., Weller H. G. ve Gosman A. D.**, 2000.'High Resolution NVD Differencing Scheme For Arbitrarily Unstructured Meshes' *International Journal For Numerical Methods in Fluids*, C. **31**,431-449.
- [21] **Venkatakrishnan V.**, 1995. 'Convergence to Steady State Solutions of the Euler Equations on Unstructured Grids with Limiters' *Journal of Computational Physics*, No. **118**,120-130.
- [22] **Kobayashi M., Pereira J. M. C. ve Pereira J. C. F.** , 1998. 'A Second-Order Upwind Least-Squares Scheme For Incompressible Flows on Unstructured Hybrid Grids' *Numerical Heat Transfer,Part B*, No. **34**,39-60.
- [23] **Mathur S. R. ve Murthy J. Y.**, 1997. 'Pressure Boundary Conditions For Incompressible Flow Using Unstructured Meshes' *Numerical Heat Transfer Part B*, No. **32**,283-298.
- [24] **Ghia U.,Ghia K. N. ve Shin C. T.**, 1982.'High-Re Solutions For Incompressible Flow Using the Navier-Stokes Equations and a Multigrid Method' *Journal of Computational Physics*, No. **48**,387-411.
- [25] **Kobayashi M. H. ve Pereira J. C. F.**, 1996.'A Comparison of Second Order Convection Discretization Schemes For Incompressible Flow' *Comunications in Numerical Methods in Engineering*, C. **12**,365-411.

- [26] **Shih T. M.**, 1985.'A Procedure to Debug Computer Programs' *International Journal for Numerical Methods in Engineering*, C. **21**,1027-1037.
- [27] **Armaly B. F., Durst F., Pereira J. C. F. ve Schönung B.**, 1983. 'Experimental and Theoretical Investigation of Bacward-Facing Step Flow' *Journal Fluid Mechanics*, C. **127**,473-496.
- [28] **Barton I. E.**, 1998. 'Comparison of SIMPLE and PISO Type Algorithms For Transient Flows' *International Journal For Numerical Methods in Fluids*, C. **26**,459-483.
- [29] **Barrett R., Berry M., Chan T. F., Demmel J., Donato M., Dongarra J., Eijkhout V., Pozo R., Romine C. ve der Vorst H. V.**, 1994. 'Templates for the Solution of Linear Systems: Building Blocks for Iterative Methods' *SIAM Philadelphia*.
- [30] **Zhang J.**, 2000. 'Preconditioned Krylov Subspace Methods for Solving Nonsymmetric Matrices From CFD Applications' *Computer Methods in Applied Mechanics and Engineering*, No. **189**,825-840.
- [31] **Van Der Vorst H. A.**, 1992.'BI-CGSTAB: A Fast and Smoothly Converging Variant of Bi-CG the Solution of Nonsymmetric Linear Systems' *SIAM Journal of Scientific and Statistical Computing*, C. **13**, No. **2**,631-644.
- [32] **Hackbusch W.**, 1994. 'Iterative Solution of Large Sparse Systems of Equations', *Springer Verlag*.
- [33] **Schlichting H.**, 1979.'Boundary-Layer Theory', *McGraw-Hill Book Company*, *2. baskı*.
- [34] **Kobayashi M. H. ve Pereira J. C. F.**, 1991.'Numerical Comparison of Momentum Interpolation Methods and Pressure-Velocity Algorithms Using Non-Staggered Grids' *Comunications in Applied Numerical Methods*, C. **7**,173-186.

- [35] **Mathur S. R. ve Murthy J. Y.**, 1997. 'Pressure Based Method For Unstructured Meshes' *Numerical Heat Transfer, Part B*, No. 31, 195-215.
- [36] **Gresho P. M. ve Sani R. L.**, 1987. 'On Pressure Boundary Conditions For the Incompressible Navier-Stokes Equations' *International Journal For Numerical Methods in Fluids*, C. 7, 1111-1145.
- [37] **Majumdar S.**, 1988. 'Role of Underrelaxation in Momentum Interpolation For Calculation of Flow With Nonstaggered Grids' *Numerical Heat Transfer*, C. 13, 125-132.
- [38] **Miller T. F. ve Schmidt**, 1988. 'Use of a Pressure-Weighted Interpolation Method For the Solution of the Incompressible Navier-Stokes Equations on a Nonstaggered Grid System ' *Numerical Heat Transfer*, C. 14, 213-233.
- [39] **Shyy W.**, 1988. 'Computation of Complex Fluid Flows Using an Adaptive Grid Method' *International Journal For Numerical Methods in Fluids*, C. 8, 475-489.
- [40] **Thomadakis M. ve Leschziner M.**, 1996. 'A Pressure-Correction Method For the Solution of Incompressible viscous Flows on Unstructured Grids' *International Journal For Numerical Methods in Fluids*, C. 22, 581-601.
- [41] **Leonard B. P.**, 1988. 'Simple High-Accuracy Resolution Program For Convective Modelling of Discontinuities' *International Journal For Numerical Methods in Fluids*, C. 8, 1291-1318.
- [42] **Gartling D. K.**, 1990. 'A Test Problem For Outflow Boundary Conditions-Flow Over a Backward-Facing Step' *International Journal For Numerical Methods in Fluids*, C. 11, 953-957.

- [43] **Gresho P. M.**, 1991. 'Incompressible Fluid Dynamics: Some Fundamental Formulation Issues' *Annualy Review of Fluid Mechanics*, C. **23**,413-453-1318.
- [44] **Leonard B. P.**, 1991. 'The ULTIMATE Conserative Difference Scheme Applied to Unsteady One-Diensional Advection' *Computer Methods in Applied Mechnics and Engineering*, No. **88**,17-74.
- [45] **Taniguchi N. ve Kobayashi T.**, 1991.'Finite Volume Method on the Unstructured Grid System' *Computers & Fluids*, C. **19**, No. **3/4**,287-295.
- [46] **Dick E. ve Linden J.**, 1992. 'A Multigrid Method For Steady Incompressible Navier-Stokes Equations Based on Flux Difference Splitting' *International Journal For Numerical Methods in Fluids*, C. **14**,1311-1323.
- [47] **Tafti D.**, 1995. 'Alternate Formulations for the Pressure Equation Laplacian on a Collocated Grid For Solving the Unsteady Incompressible Navier-Stokes Equations' *Journal of Computational Physics*, No. **116**,143-153.
- [48] **Lilek Z. ve Peric M.**, 1995. 'A Fourth-Order Finite Volume Method With Colocated Varibale Arrangement' *Computers & Fluids*, C. **24**, No. **3**,239-252.
- [49] **Barton I. E.**, 1995. 'A Numerical Study Over a Confined Backward Step' *International Journal For Numerical Methods in Fluids*, C. **14**,653-665.
- [50] **Delanaye M.**, 1996. 'Polynomial Reconstruction Finite Volume Schemes for the Compressible Euler and Navier-Stokes Equations on Unstructured Adaptive Grids', *Doktora Tezi, University of Liege* .
- [51] **Oosterlee C. W. ve Ritzdorff H.**, 1996. 'Flux Differece Splitting For Three-Dimensional Steady Incompressible Navier-Stokes Equations

In Curvilinear Co-ordinates' *International Journal For Numerical Methods in Fluids*, C. **23**,347-366.

- [52] **Rahman M. M, Miettinen A. ve Siikonen T.**, 1996. 'Modified SIMPLE Formulation on a Collocated Grid With an Assessment of the Simplified Quick Scheme' *Numerical Heat Transfer,Part B*, No. **30**,291-314.
- [53] **Lai Y. G.**, 1997. 'An Unstructured Grid Method For A Pressure-Based Flow and Heat Transfer Solver' *Numerical Heat Transfer,Part B*, No. **32**,267-281.
- [54] **Kim N., Anand N. K. ve Rhode D. L.**, 1998. 'A Study on Convergence Criteria For a Simple-Based Finite-Volume Algorithm' *Numerical Heat Transfer,Part B*, No. **34**,401-417.
- [55] **Tony W. H. S.,Morten M. T. W. ve Tsai S. F.**, 1998.'Pressure Boundary Conditions For a Segregated Approach To Solving Incompressible Navier-Stokes Equations' *Numerical Heat Transfer,Part B*, No. **34**,457-467.
- [56] **Barton I. E.**, 1998.'Improved Laminar Predictions Using a Stabilised Time-Dependent SIMPLE Scheme' *International Journal For Numerical Methods in Fluids*, C. **28**,841-857.
- [57] **Minev P. D. ve Gresho P. M.**, 1998.'A Remark on Pressure Correction Schemes For Transient Viscous Incompressible Flow' *Communications in Applied Numerical Methods*, C. **14**,335-346.
- [58] **Wang Y. ve Komori S.**, 1999.'Comparison of Using Cartesian and Covariant Velocity Components on Non-Orthogonal Grids' *International Journal For Numerical Methods in Fluids*, C. **31**,1265-1280.
- [59] **Moulinec C. ve Wesseling P.**, 2000. 'Colocated Schemes For the Incompressible Navier-Stokes Equations on Non-Smooth Grids

For Two-Dimensional Problems' *International Journal For Numerical Methods in Fluids*, C. 32,349-364.

- [60] **Foy B. ve Dawes W.**, 2000.'Unstructured Pressure-Correction Solver Based on a Consistent Discretization of the Poisson Equation' *International Journal For Numerical Methods in Fluids*. C. 34, 163-178.
- [61] **Moukalled F. ve Darwish M.**, 2000. 'A Unified Formulation of the Segregated Class of Algorithms for Fluid Flow at All Speeds' *Numerical Heat Transfer, Part B*, No. 37,103-139.

## EK A

### LİNEER DENKLEM SİSTEMİNİN ÇÖZÜMÜ

Gerek momentum denklemlerinin, gerekse basınç düzeltme denklemlerinin ayırtlaştırılması sonucu ortaya çıkan lineer denklem sisteminin çözümü için değişik metodlar kullanılmaktadır. Bu metodların karşılaştırmaları [13, 29, 30] no'lu kaynaklarda verilmiştir. En genel halde bir denklem sistemini A.1 deki gibi tanımlayabiliriz.

$$\mathbf{Ax} = \mathbf{b} \quad (\text{A.1})$$

Bu çalışmada yapısal olmayan çözüm ağlarının kullanılması nedeniyle momentum denklemlerinin ayırtlaştırılması sonucu ortaya çıkan katsayılar matrisi seyrek ve simetrik değildir. Diğer yöntemlere göre daha hızlı yakınsaması[30] ve programlanmasıının daha kolay olması nedeniyle ([29]) [31] no'lu kaynakta belirtilen BI-CGSTAB yöntemi kullanılmıştır. Yöntemin algoritması Şekil A.1 de gösterilmiştir.

```
Compute  $r^{(0)} = b - Ax^{(0)}$  for some initial guess  $x^{(0)}$ 
Choose  $\hat{r}$  (for example,  $\hat{r} = r^{(0)}$ )
for  $i = 1, 2, \dots$ 
     $\rho_{i-1} = \hat{r}^T \hat{r}^{(i-1)}$ 
    if  $\rho_{i-1} = 0$  method fails
        if  $i = 1$ 
             $p^{(i)} = r^{(i-1)}$ 
        else
             $\beta_{i-1} = (\rho_{i-1}/\rho_{i-2})(\alpha_{i-1}/\omega_{i-1})$ 
             $p^{(i)} = r^{(i-1)} + \beta_{i-1}(p^{(i-1)} - \omega_{i-1}v^{(i-1)})$ 
        endif
        solve  $M\hat{p} = p^{(i)}$ 
         $v^{(i)} = A\hat{p}$ 
         $\alpha_i = \rho_{i-1}/\hat{r}^T v^{(i)}$ 
         $s = r^{(i-1)} - \alpha_i v^{(i)}$ 
        check norm of  $s$ ; if small enough: set  $x^{(i)} = x^{(i-1)} + \alpha_i \hat{p}$  and stop
        solve  $M\hat{s} = s$ 
         $t = A\hat{s}$ 
         $\omega_i = t^T s / t^T t$ 
         $x^{(i)} = x^{(i-1)} + \alpha_i \hat{p} + \omega_i \hat{s}$ 
         $r^{(i)} = s - \omega_i t$ 
        check convergence; continue if necessary
        for continuation it is necessary that  $\omega_i \neq 0$ 
end
```

Şekil A.1: BI-CGSTAB algoritması([29]).

Şekil A.1 de gösterilen algoritmada  $M$  önsartlandırıcı matrisidir. Bu çalışmada ILU önsartlandırıcı BI-CGSTAB metodunun daha hızlı yakınsamasını sağlamak amacıyla kullanılmıştır. Ön şartlandırıcı matrisin oluşturulması ile ilgili algoritma Şekil A.2 de verilmiştir.

```

for  $i = 1, N$ 
   $L_{ii} = 1.0$ 
  for  $k = 1, i - 1$ 
    If  $A_{ik} \neq 0.0$  then
       $L_{ik} = 0.0$ 
    else
       $L_{ik} = (A_{ik} - \sum_{j=1}^{k-1} L_{ij}U_{jk})/U_{kk}$ 
    end if
  end
  for  $k = 1, i$ 
    If  $A_{ki} = 0.0$  then
       $U_{ki} = 0.0$ 
    else
       $U_{ki} = A_{ki} - \sum_{j=1}^{k-1} (L_{kj}U_{ji})$ 
    end if
  end
end

```

Şekil A.2: ILU ön şartlandırıcı algoritması([32]).

ILU önsartlandırıcının uygulanması ile ilgili bilgiler [32] da bulunmaktadır. [29] no'lu kaynakta programlara nasıl uygulanacağı ile ilgili bilgiler bulunmaktadır. ILU önsartlandırıcının çözüm metodu üzerindeki etkisi ise [30] no'lu kaynakta incelenmiştir.

## ÖZGEÇMİŞ

Hüseyin Gökmen Aksoy 1976 yılında Aksaray'da doğdu. 1994 yılında Ankara Gazi Anadolu Lisesinden mezun oldu. 1998 yılında İstanbul Teknik Üniversitesi Makina Fakültesi Makina Mühendisliği bölümünden mezun oldu.

